

لَهُ لِرَحْمَةٍ



دانشکده مهندسی برق

پروژه درس کنترل صنعتی

شبیه سازی و کنترل ارابه و پاندول معکوس

نگارش

محمد امین فراهانی فرد

۴۰۱۴۱۳۰۲۹

استاد

دکتر سهیل گنجه فر

زمستان ۴۰۳

فهرست

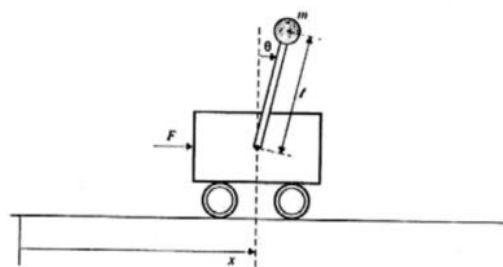
4 ۱-۱. مسئله
4 ۲-۱. محاسبه مدل غیر خطی و خطی حول نقطه $\theta = 0$
5 ۲-۱-۱. بدست اوردن معادلات لاگرانژ مدل
7 ۲-۱-۲. خطی سازی معادلات حول $\theta = 0$
9 ۲-۱-۳. بررسی حالت اول :
10 ۲-۱-۴. حالت دوم
11 ۳-۱. شبیه سازی حالات اولیه
11 ۳-۱-۱. شبیه سازی حالت اول :
14 ۳-۱-۲. شبیه سازی حالت دوم:
18 ۴-۱. شناسایی مدل ۳ جزیی و ۴ جزیی
18 ۴-۱-۱. حالت غیرخطی:
21 ۴-۱-۲. مدل چهار جزیی غیر خطی:
27 ۵-۱. بدست اوردن اطلاعات نقطه نهایی سیستم با روش فیدبک رله
32 ۶-۱. طراحی PID به روش زیگلر-نیکولز
32 ۶-۱-۱. در حوزه فرکانس
33 ۶-۱-۲. بار اول:
35 ۶-۱-۳. در حوزه زمان
39 ۷-۱. زیگلر-نیکولز تعمیم یافته
39 ۷-۱-۱. PID برای مدل ۳ جزیی
40 ۷-۱-۲. $Ku = 0.2684(98)$
40 ۷-۱-۳. $Kp = Ku \cdot rb \cdot \cos\phi b = 0.2316Ku = 0.062(100)$
41 ۷-۱-۴. PID برای مدل ۴ جزیی
41 ۷-۱-۵. $Ku = 0.2302(103)$
41 ۷-۱-۶. $p = Ku \cdot rb \cdot \cos\phi b = 0.2316Ku = 0.0532(105)$
42 ۸-۱. روش لامبدا
44 ۹-۱. طراحی PID به روش ISE
45 ۱۰-۱. کنترل کننده های مختلف به انحراف های مختلف
45 ۱۰-۱-۱. برای انحراف ۱

46	$T = 0.276(135)$
48	0.01. انحراف 2-10-1
48	$T = 0.338(135)$

۱-۱. مسئله

پاندول معکوس زیر را در نظر بگیرید؛ در طول این پروژه می خواهیم پاندول معکوس زیر را شبیه سازی و تخمین و با انواع روش های تنظیم کنترل کننده PID آن را کنترل کنیم.

پاندول معکوس زیرا در نظر بگیرید:



شکل ۱-۱ (مسیله)

۲-۱. محاسبه مدل غیر خطی و خطی حول نقطه $\theta = 0$

برای بدست اوردن مدل غیر خطی از معادلات لاگرانژ استفاده می نماییم

معادله لاگرانژ:

$$\frac{d}{dt}\left(\frac{\partial L}{\partial \dot{q}_i}\right) - \frac{\partial L}{\partial q_i} = Q_i \quad i = 1, 2, \dots, n$$

لاگرانژین:

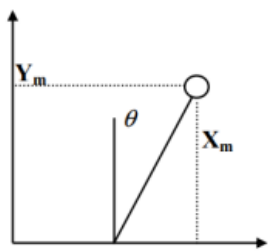
$$L = T - V(1)$$

T = انرژی جنبشی ، V = انرژی پتانسیل .

در این جسم در ۲ راستا حرکت داریم؛ در راستای X و راستای θ . داده های مورد نیاز عبارت است از:

$$M = 10Kg, m = 0.3Kg, l = 0.3m, g = 9.8$$

۱-۲-۱. بدست اوردن معادلات لاگرانژ مدل



$$X_m = x + l \sin \theta \quad (2)$$

$$Y_m = l \cos \theta \quad (3)$$

از این عبارات مشتق میگیریم:

$$V_x = \dot{x} + l \dot{\theta} \cos \theta \quad (4)$$

$$V_y = -l \dot{\theta} \sin \theta \quad (5)$$

انرژی جنبشی کل برابر است با:

$$T = \frac{1}{2} M \dot{X}^2 + \frac{1}{2} m (v_x^2 + v_y^2) \quad (6)$$

$$T = \frac{1}{2} M \dot{X}^2 + \frac{1}{2} m \left[(\dot{x} + \dot{\theta} l \cos \theta)^2 + (-l \dot{\theta} \sin \theta)^2 \right] \quad (7)$$

$$T = \frac{1}{2} (M + m) \dot{X}^2 + \frac{1}{2} m \left((\ell \dot{\theta})^2 + m x \dot{\theta} l \cos \theta \right) \quad (8)$$

برای بدست اوردن انرژی پتانسیل سیستم نیاز است که سطح انرژی ارابه را v_0 در نظر بگیریم

$$V = V_0 + mg \ell \cos \theta \quad (9)$$

لاگرانژین صورت زیر در می اید:

$$L = \frac{1}{2} (M + m) \dot{X}^2 + \frac{1}{2} m (\ell \dot{\theta})^2 + m \dot{x} \dot{\theta} l \cos \theta - V_0 - mg \ell \cos \theta \quad (10)$$

معادله در راستای X :

$$d/dt \left(\frac{\partial L}{\partial \dot{x}} \right) - \partial L / \partial x = F \quad (11)$$

$$\frac{d}{dt} \left(M \dot{x} + m(\dot{x} + \ell \dot{\theta} \cos \theta) \right) = F \quad (12)$$

$$(M + m) \ddot{x} + m \ell \ddot{\theta} \cos \theta - m \ell \dot{\theta}^2 \sin \theta = F \quad (13)$$

در امتداد θ :

$$\frac{d}{dt} \left(\frac{\partial L}{\partial \dot{\theta}} \right) - \frac{\partial L}{\partial \theta} = 0 \quad (14)$$

$$\frac{d}{dt} (m \ell \dot{x} \cos \theta + m \ell^2 \dot{\theta}) - mg \ell \sin \theta = 0 \quad (15)$$

$$x \ddot{\theta} \cos \theta + l \theta \ddot{\theta} - g \sin \theta = 0 \quad (16)$$

عادلات نهايى بصورت ماتريسى:

$$\begin{bmatrix} M+m & m \ell \cos \theta \\ \cos \theta & \ell \end{bmatrix} \cdot \begin{bmatrix} \dot{v} \\ \dot{w} \end{bmatrix} = \begin{bmatrix} F + mlw^2 \sin \theta \\ g \sin \theta \end{bmatrix} \quad (17)$$

با حل معادلات به روش کرامر خوھیم داشت:

$$\dot{v} = \frac{(F + m\ell\omega^2 \sin\theta - mg \sin\theta \cos\theta)}{(M + m(1 - \cos^2\theta))} \quad (18)$$

$$\dot{\omega} = \frac{(-F\cos\theta - m\ell\omega^2 \sin\theta \cos\theta + (M + m)g \sin\theta)}{(\ell[M + m(1 - \cos^2\theta)])} \quad (19)$$

$$x^{\ddot{\square}} = v \quad (20)$$

$$\theta^{\ddot{\square}} = \omega \quad (21)$$

۲-۲-۱. خطی سازی معادلات حول $\theta = 0$

برای خطی سازی این معادلات حول $\theta = 0$, باید فرض کنیم که زاویه θ و مشتق های آن کوچک هستند. به این ترتیب، می توان از تقریب های زیر استفاده کرد:

$$\sin\theta \approx \theta \quad (22)$$

$$\cos\theta \approx 1 - \frac{\theta^2}{2} \quad (23)$$

$$\cos^2\theta \approx 1 - \theta^2 \quad (24)$$

$$\theta^2 \approx 0 \quad (25)$$

۱-۲-۲-۱. معادله $v^{\ddot{\square}}$:

معادله اصلی معادله (۱۸) می باشد و حال با در نظر گرفتن تقریب های بالا و جایذاری در معادله (۱۸) خواهیم داشت:

$$\dot{v} = \frac{\left(F + m\ell\omega^2\theta - mg\theta \left(1 - \frac{\theta^2}{2} \right) \right)}{(M + m\theta^2)} \quad (26)$$

ساده شده عبارت برابر است با :

$$\dot{v} = \frac{(F + m\ell\omega^2\theta - mg)}{(M)} \quad (27)$$

: معادله ۲-۲-۲-۱

معادله اصلی معادله (۱۹) می باشد و حال با در نظر گرفتن تقریب های بالا و جایگذاری در معادله (۱۹) خواهیم داشت:

$$\dot{\omega} = \frac{\left(-F \left(1 - \frac{\theta^2}{2} \right) - m\ell\omega^2\theta \left(1 - \frac{\theta^2}{2} \right) + (M + m)g\theta \right)}{(\ell[M + m(\theta^2)])} \quad (28)$$

$$\dot{\omega} = \frac{(-F - m\ell\omega^2\theta + (M + m)g\theta)}{(\ell M)} \quad (29)$$

ساده شده عبارت برابر است با:

$$\dot{\Delta\omega} = \frac{(-\Delta F - m\ell\Delta\omega^2\Delta\theta + (M + m)g\Delta\theta)}{(\ell M)} \quad (30)$$

سایر معادلات خود خطی هستند:

$$(\Delta x) \dot{=} \Delta v \quad (20)$$

$$\Delta \theta \dot{=} \Delta \omega \quad (21)$$

۳-۲-۱. بررسی حالت اول:

$$x(0) = v(0) = \omega(0) = 0, \theta(0) = 0.1, F(t) = 0, 0 \leq t \leq 1$$

جایگذاری مقادیر و بدست اوردن معادلات خطی و غیرخطی

غیر خطی:

$$\dot{v} = \frac{(0.09\omega^2 \sin\theta - 2.94 \sin\theta \cos\theta)}{(10 + 0.3(1 - \cos^2\theta))} \quad (31)$$

$$\dot{\omega} = \frac{(-0.09\omega^2 \sin\theta \cos\theta + 100.94 \sin\theta)}{([3 + 0.09(1 - \cos^2\theta)])} \quad (32)$$

$$\dot{x} = v \quad (20)$$

$$\dot{\theta} = \omega \quad (21)$$

خطی:

$$\dot{\omega} = \frac{(-0.09\omega^2\theta + 30.282\theta)}{3} \quad (33)$$

$$\dot{v} = \frac{(0.09\omega^2\theta - 2.94\theta)}{10} \quad (34)$$

$$\dot{x} = v \quad (20)$$

$$\dot{\theta} = \omega \quad (21)$$

٤-٢-١ . حالت دوم

$$x(0) = v(0) = \omega(0) = 0, \theta(0) = 0.1, F(t) = \sin(t), 0 \leq t \leq 5$$

غیرخطی :

$$\dot{v} = \frac{(Sint + 0.09\omega^2 \sin\theta - 2.94\sin\theta \cos\theta)}{(10 + 0.3(1 - \cos^2\theta))} \quad (35)$$

$$\dot{\omega} = \frac{(-Sint\cos\theta - 0.09\omega^2 \sin\theta \cos\theta + 100.94\sin\theta)}{([3 + 0.09(1 - \cos^2\theta)])} \quad (36)$$

$$x_{\square} = v(20)$$

$$\theta_{\square} = \omega(21)$$

خطی :

$$\dot{\omega} = \frac{(\sin t - 0.09\omega^2\theta + 100.94\theta)}{3} \quad (37)$$

$$\dot{v} = \frac{(-Sint + 0.09\omega^2\theta - 2.94\theta)}{10} \quad (38)$$

$$x_{\square} = v(20)$$

$$\theta_{\square} = \omega(21)$$

بصورت ساده تر خواهیم داشت :

$$\dot{\omega} = \frac{(Sint - 0.09\omega^2\theta + 30.282\theta)}{3} \quad (39)$$

$$\dot{v} = \frac{(-Sint + 0.09\omega^2\theta - 2.94\theta)}{10} \quad (40)$$

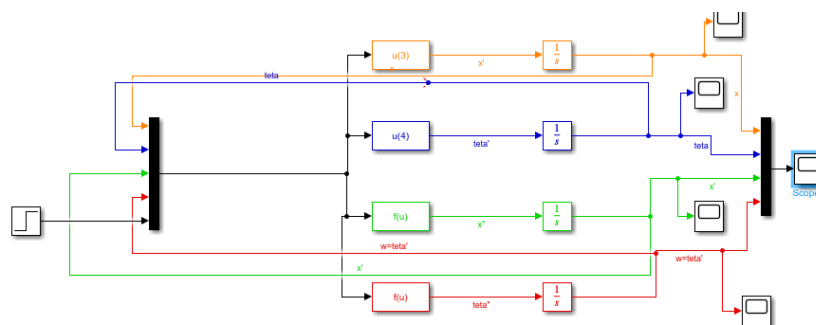
$$x \ddot{\square} = v(20)$$

$$\theta \ddot{\square} = \omega(21)$$

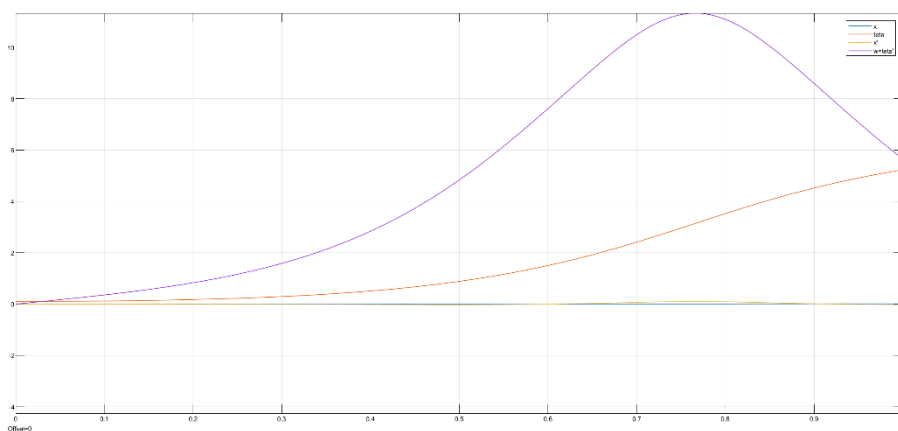
3. شبیه سازی حالات اولیه

3.1. شبیه سازی حالت اول :

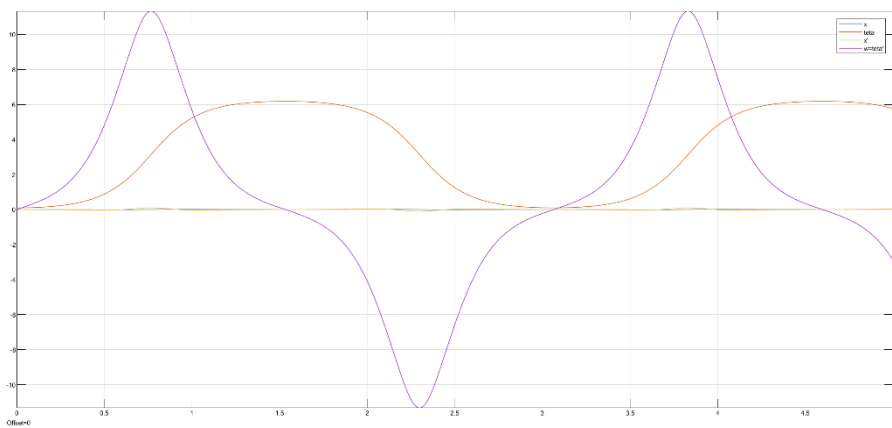
3.1.1. غیر خطی:



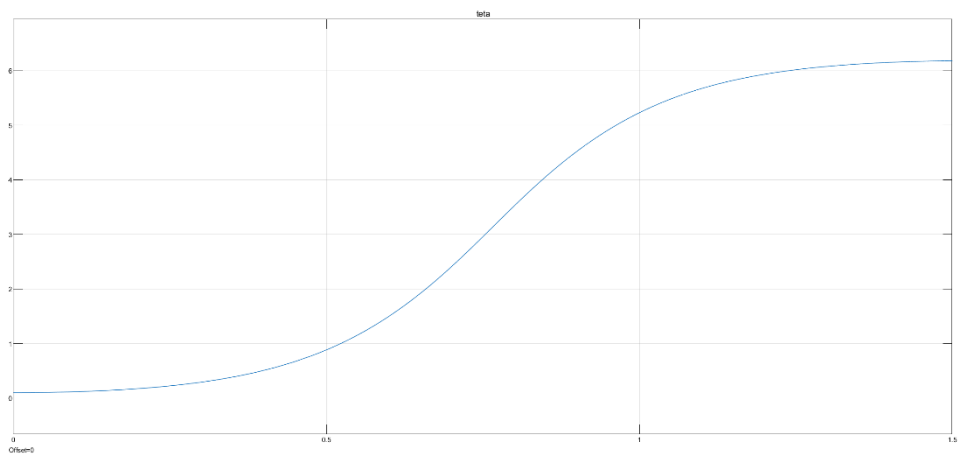
شکل ۲-۱ (بلوک های سیمولینک)



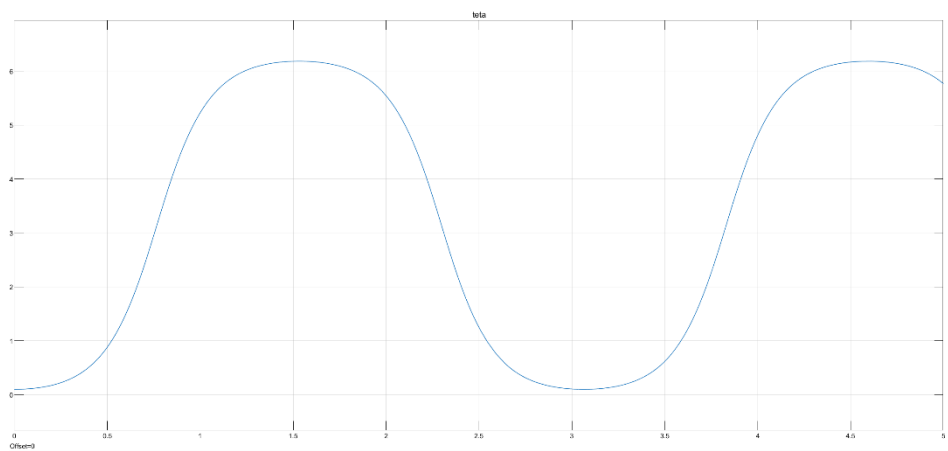
شکل ۳-۱ (نتایج حاصل از حالت اول (غیرخطی))



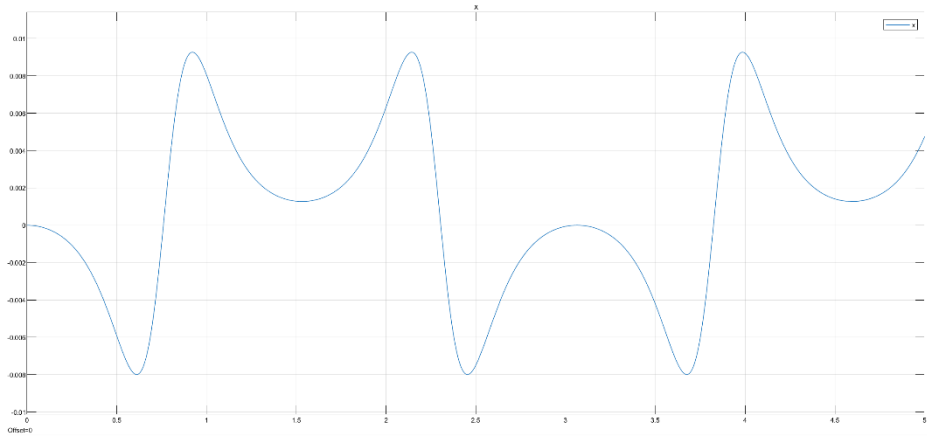
شکل ۴-۱ (نتایج حاصل از حالت اول (غیرخطی) از $\theta = 5^\circ$)



شکل ۵-۱ (نمودار زاویه θ از 0° تا 5°)

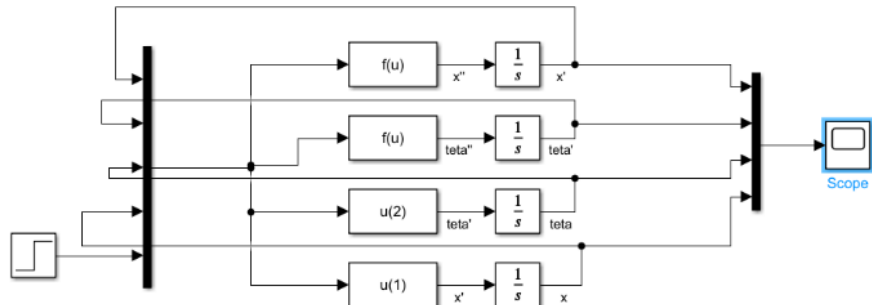


شکل ۶-۱ (نمودار زاویه θ از 0° تا 5°)

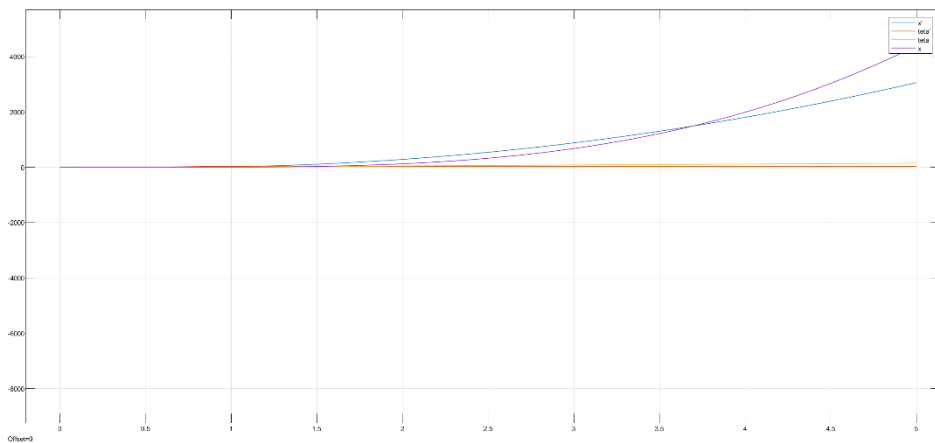


شکل ۷-۱ (نمودار مکان X از ۰ تا ۵S)

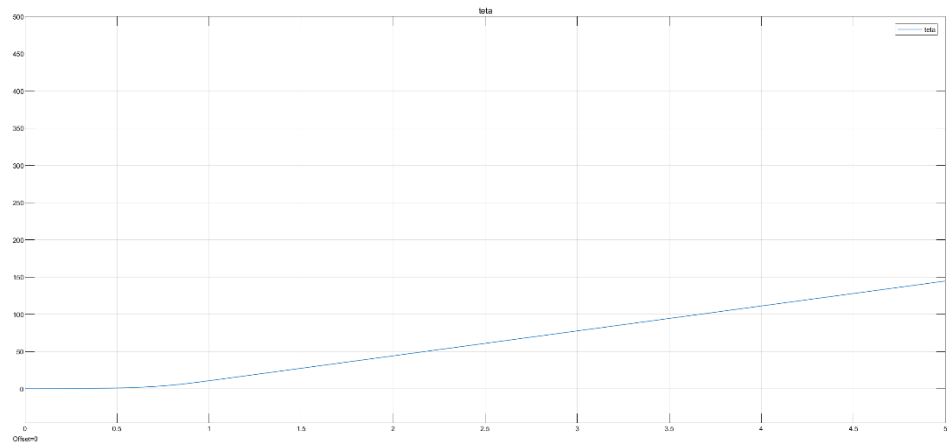
خطی: ۲-۱-۳-۱



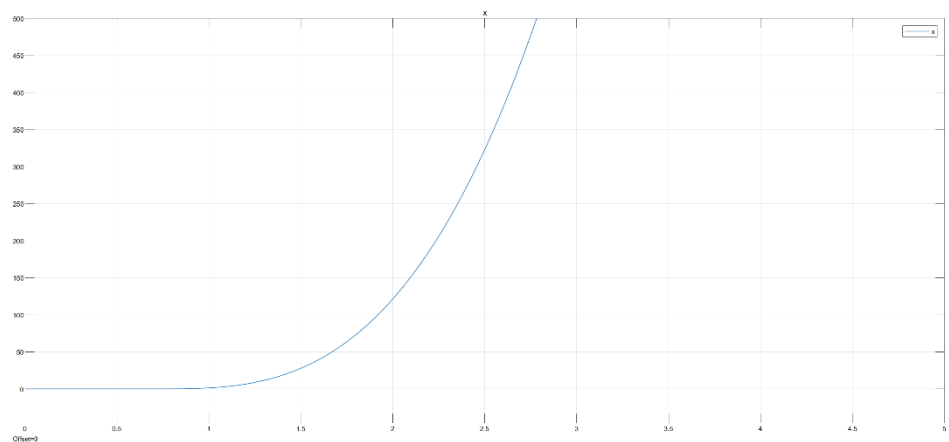
شکل ۸-۱ (بلوک های سیمولینک)



شکل ۹-۱ (نتایج حاصل از حالت اول (خطی))



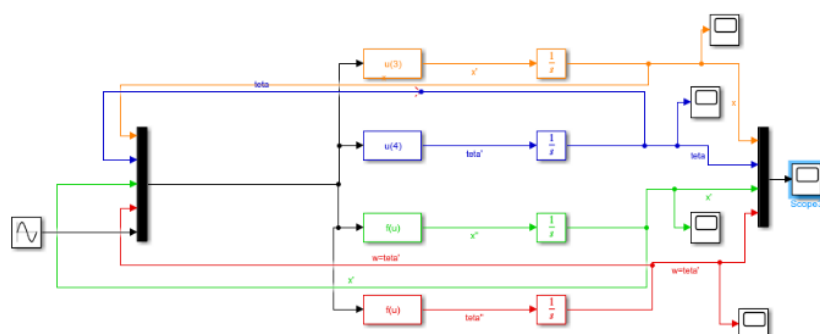
شکل ۱۰-۱ (نمودار زاویه θ از حالت اول (خطی) از ۰ تا ۱۷۰)



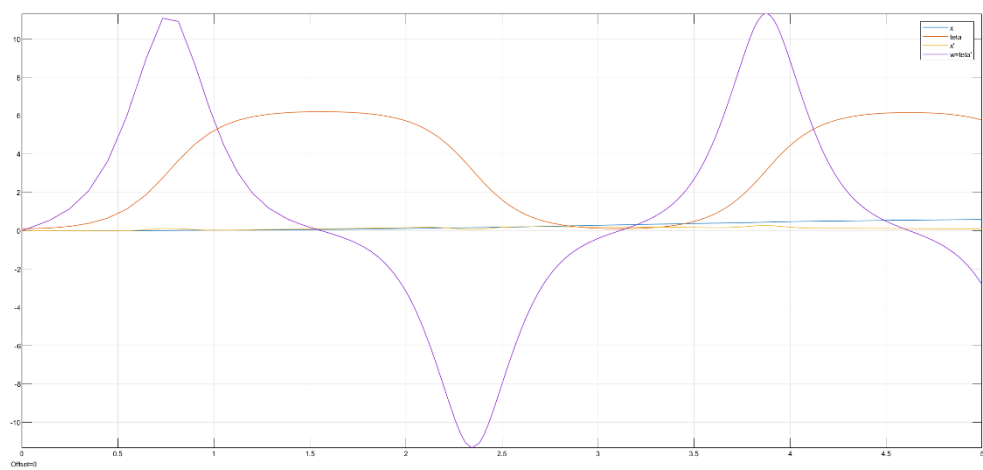
شکل ۱۱-۱ (نمودار مکان X در حالت خطی از ۰ تا ۴۸۰)

2. شبیه سازی حالت دوم:

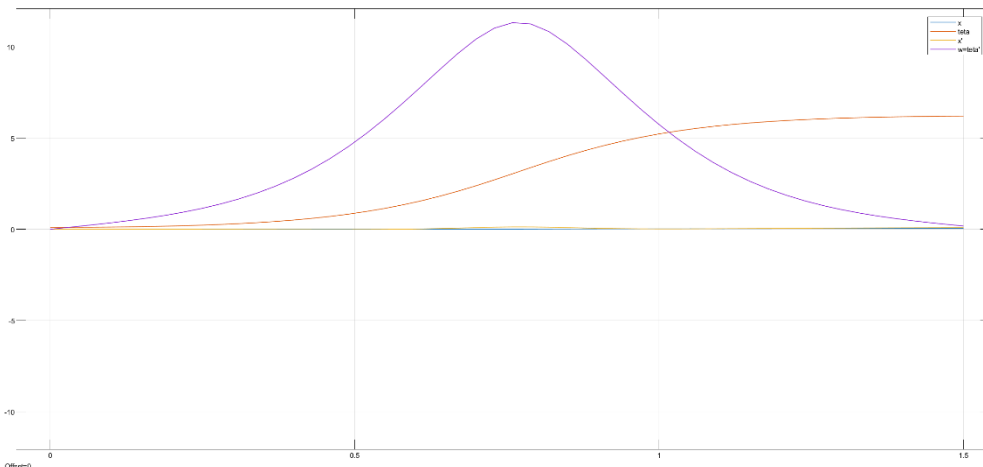
1-2-3-1. غیرخطی:



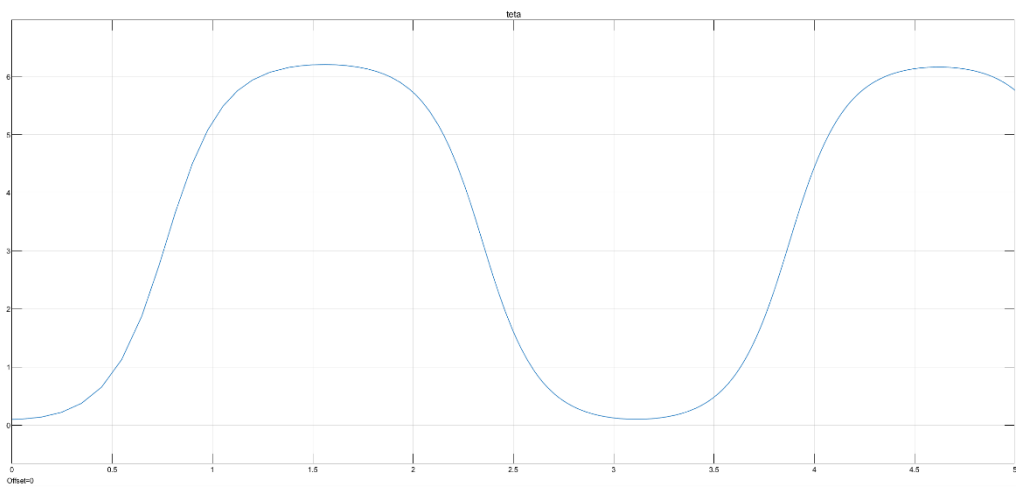
شکل ۱۲-۱ (بلوک های سیمولینک)



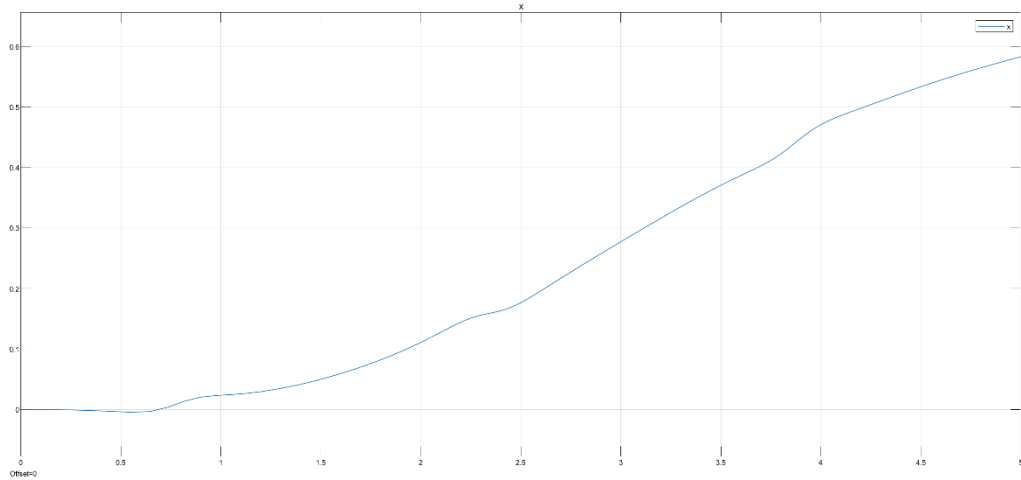
شکل ۱۳-۱ (نتایج حاصل از حالت دوم (غیرخطی) از $\tau = 0.5s$)



شکل ۱۴-۱ (نتایج حاصل از حالت دوم (غیرخطی) از $\tau = 0.5s$)



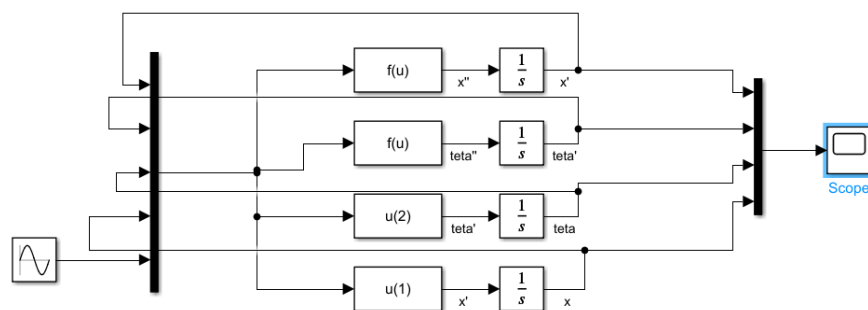
شکل ۱۵-۱ (نمودار $\tau = 0.5s$)



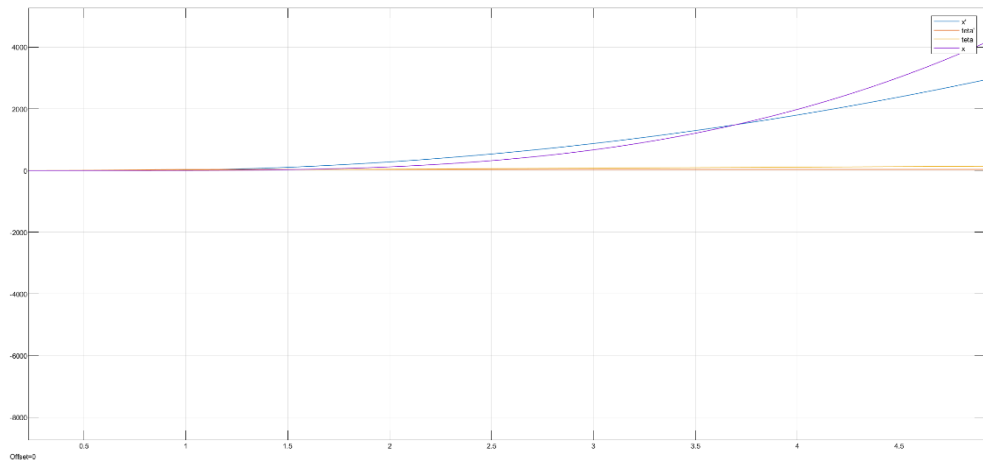
شکل ۱۶-۱ (نمودار X از ۰ تا ۵)

به دلیل اینکه دامنه سینوس بسیار کم است در این حالت و برابر یک می باشد بنابراین تفاوت جزئی را در این حالت در تغییرات زاویه خواهیم داشت با حالت قبل که بصورت بدون نیرو بود.

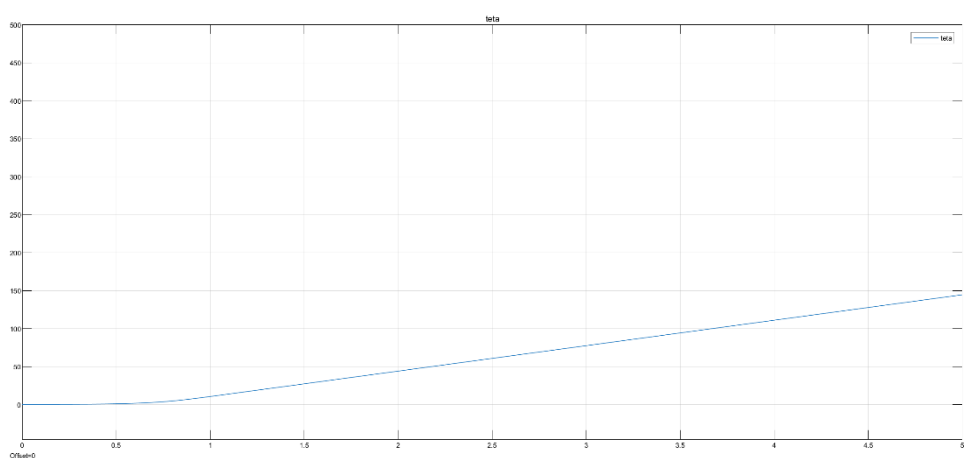
2-2-3-1. خطی:



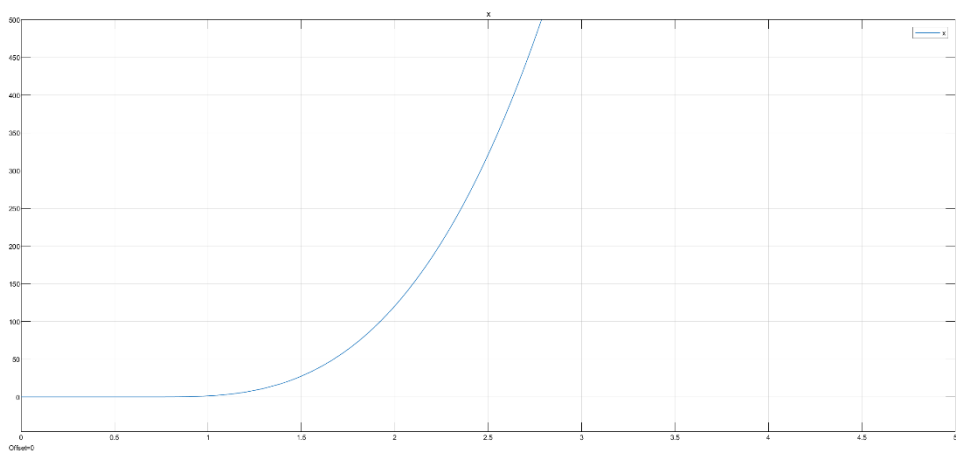
شکل ۱۷-۱ (بلوک های سیمولینک)



شکل ۱۸-۱ نتایج حاصل از حالت دوم (خطی) از ۰ تا ۵۰



شکل ۱۹-۱ (نمودار حالت خطی زاویه θ از ۰ تا ۱۵)

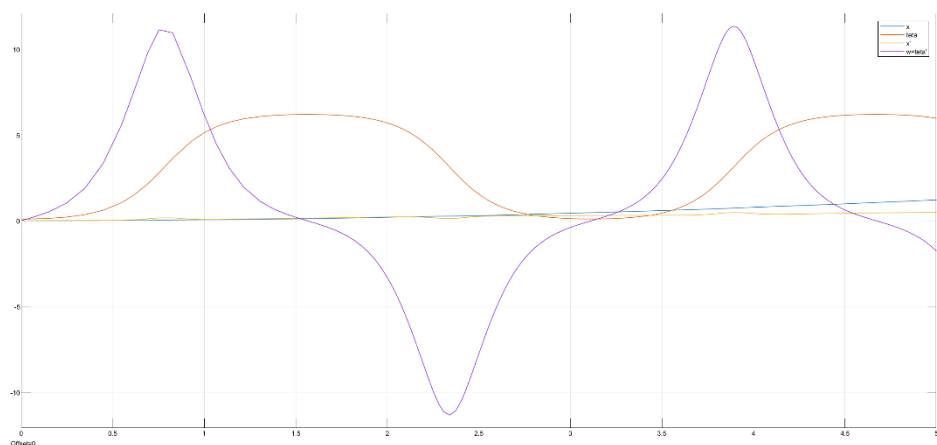


شکل ۲۰-۱ (نمودار مکان X در حالت صفر تا ۱ ثانیه)

۱-۴. شناسایی مدل ۳ جزیی و ۴ جزیی

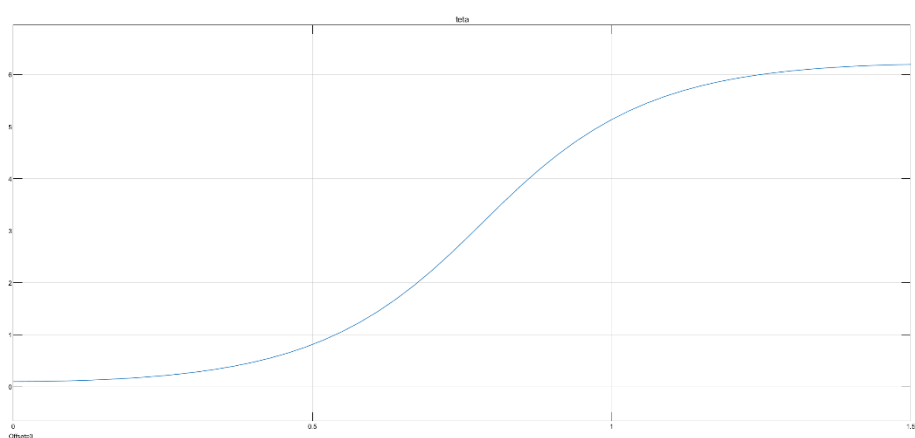
برای هر دو حالت خطی و غیر خطی مدل مدل های ۳ جزیی و ۴ جزیی را شناسایی می کنیم و از ورودی پله واحد استفاده می کنیم.

۱-۴-۱. حالت غیرخطی:



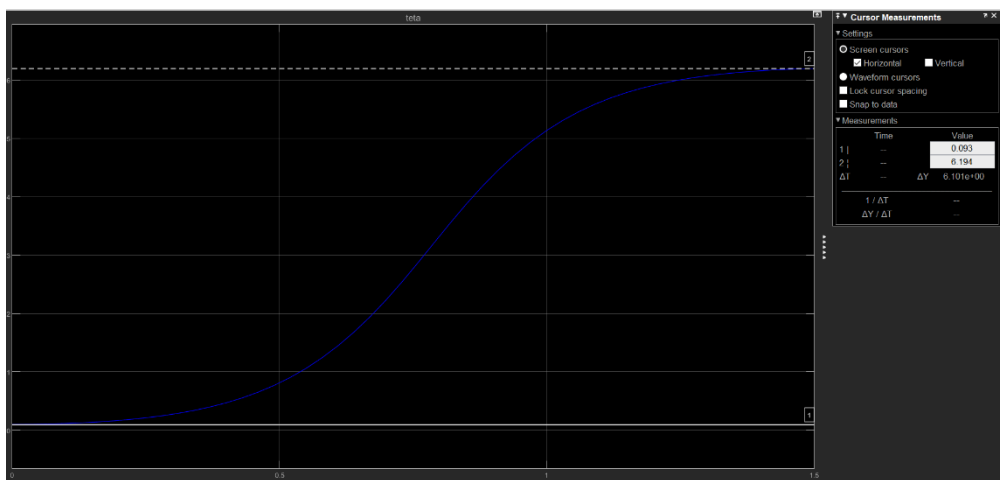
شکل ۲۱-۱ (پاسخ ورودی پله واحد در حالت غیر خطی)

حال باید پاسخ ترا را جداگانه رسم نموده برای ان مدل های مربوطه را تخمین بزنیم.



شکل ۲۲-۱ (پاسخ زاویه θ به ورودی پله واحد از صفر تا ۱.۰۵ ثانیه)

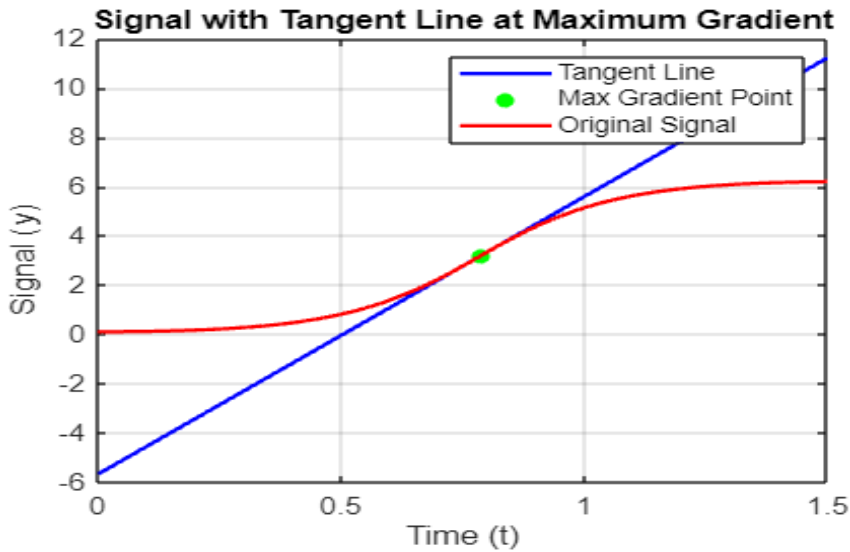
مدل سه جزئی به صورت (41) تعریف می شود که با توجه به پاسخ پله در ادامه مقادیر مجهول محاسبه می گردد.



شکل ۲۳-۱ (محاسبه مقدار K)

مقدار k مطابق شکل زیر تقریبا برابر ۰.۱۹۴ است برای محاسبه ای که بیشترین شیب نقطه ای وجود دارد، یک خط به نمودار مماس شود که محل برخورد این خط مماس با محور افقی L است.

برای رسم خط با شیب ماقسیم از بلوک To workspace استفاده می کنیم و سپس با استفاده از متلب (ام-فایل) خط را با کد زیر رسم می نماییم.



شکل 24-1 خط ابی ، خطی که از عطف میگذرد و بیشترین شیب را دارد

این خط با استفاده از کد زیر در متلب رسم شده است:

```
% استخراج داده‌ها از timeseries
y = out.teta.Data; % داده‌ها
t = out.teta.Time; % زمان‌ها

% محاسبه گرادیان
dy = gradient(y, t);
[value, index] = max(dy);
% تعریف خط مماس
a = value; % شیب خط مماس
y_2 = y(index); % در بیشینه گرادیان y مقدار
t_2 = t(index); % در بیشینه گرادیان t مقدار
y_ = a * (t - t_2) + y_2; % معادله خط مماس

% رسم نمودارها
figure; % باز کردن پنجره جدید
plot(t, y_, 'b', 'LineWidth', 1.5); % رسم خط مماس
hold on;
scatter(t(index), y(index), 'g', 'filled'); % نقطه با بیشینه گرادیان
hold on;
plot(t, y, 'r', 'LineWidth', 1.5); % رسم سیگنال اصلی
grid on;
```

```

افزودن عنوان %
xlabel('Time (t)');
ylabel('Signal (y)');
title('Signal with Tangent Line at Maximum Gradient');
legend('Tangent Line', 'Max Gradient Point', 'Original Signal');

```

حال با توجه به شکل مقادیر لازم را بدست می اوریم

$$L = 0.5042 \quad (42)$$

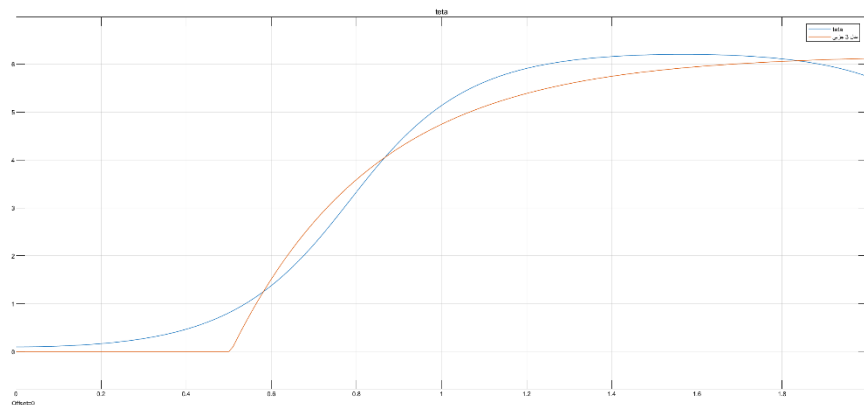
$$a = 5.6796 \quad (43)$$

برای بدست اوردن مقدار T می توان از مقدار $k = 63$ استفاده کرد.

$$T = 0.3413 \quad (44)$$

مدل سه جزیی را بصورت زیر می نویسیم:

$$G(s) = (6.194e^{(-0.5042s)}) / (1 + 0.3413s) \quad (45)$$



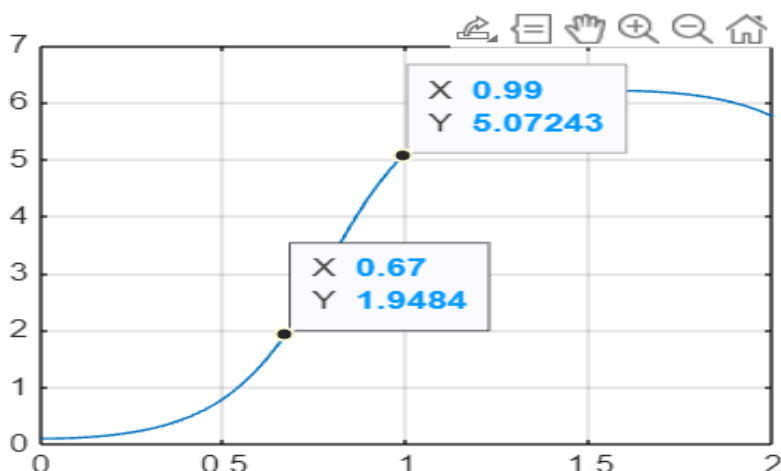
شکل ۱-۲۵ (رسم مدل ۳ جزیی همراه با تتا)

2-4-1. مدل چهارجزیی غیر خطی:

با توجه به اینکه فرمول محاسبه مدل چهار جزئی به صورت $G(s) = \frac{Ke^{-Ls}}{(1+T_1s)(1+T_2s)}$ می باشد و L مطابق مرحله قبل بوده و از روی نمودار بدست آمده اند برای محاسبه T_1 و T_2 دو نقطه دلخواه از نمودار در فرمول زیر قرار می گیرند.

$$s(t) = k \left(1 + \frac{T_2 e^{\left\{-\frac{(t-L)}{T_2}\right\}} - T_1 e^{\left\{-\frac{(t-L)}{T_1}\right\}}}{T_1 - T_2} \right) \quad (46)$$

بطور دلخواه دو نقطه روی نمودار را انتخاب می کنیم.



شکل ۱-۲۶ (دو نقطه انتخاب شده روی نمودار)

حال با استفاده از مطلب مقادیر T_1 و T_2 را تعیین می کنیم.

داده ها %

$t_1 = 0.99;$

$s_1 = 5.07243;$

$t_2 = 0.67;$

```

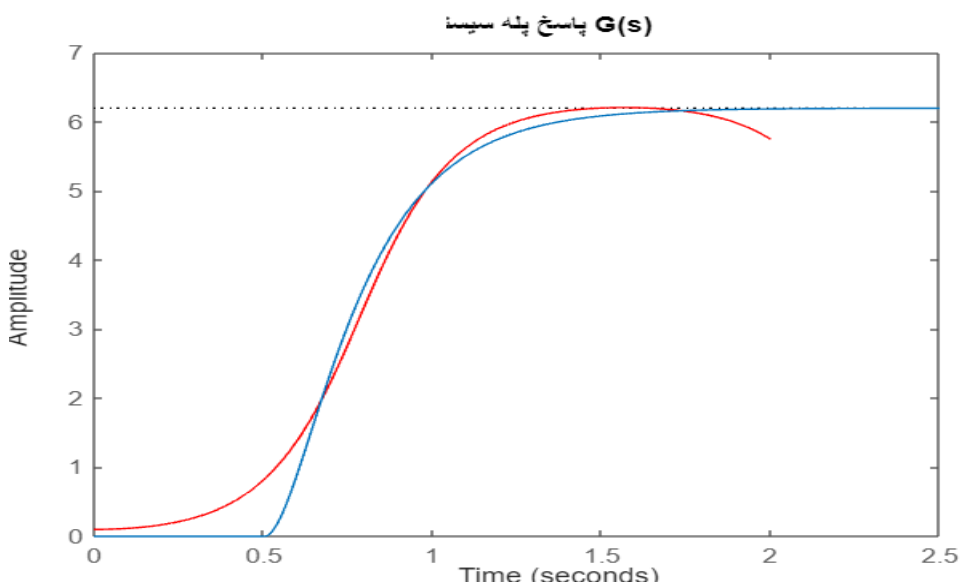
s2 = 1.9484;
% ثابت ها
k = 6.194; % مقدار k
L = 0.5042; % مقدار L
% تعریف تابعی که باید صفر شود
equations = @(z) [
    k * (1 + (z(2) * exp(-(t1 - L) / z(2)) - z(1) * exp(-(t1 - L) / z(1))) / (z(1) - z(2))) - s1;
    k * (1 + (z(2) * exp(-(t2 - L) / z(2)) - z(1) * exp(-(t2 - L) / z(1))) / (z(1) - z(2))) - s2
];
% مقدار اولیه برای حل
z0 = [0.3, 0.2]; % حدس اولیه برای T1 و T2
% حل سیستم معادلات
options = optimoptions('fsolve', 'Display', 'iter');
[z, fval, exitflag] = fsolve(equations, z0, options);
% نمایش نتایج
T1 = z(1);
T2 = z(2);
fprintf('T1 = %.5f\n', T1);
fprintf('T2 = %.5f\n', T2);

```

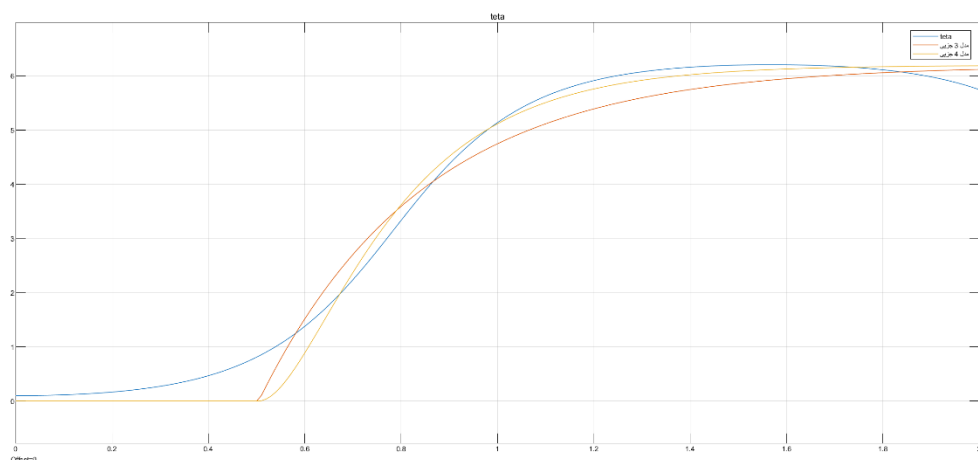
مقدار $T_2 = 0.09013$, $T_1 = 0.2185$ می باشد.

$$G(s) = \frac{6.194e^{-0.5042s}}{(1 + 0.2185s)(1 + 0.09013s)} \quad (47)$$

$$G(S) = \frac{6.194e^{-0.504s}}{0.01996 s^2 + 0.3098 s + 1} \quad (48)$$



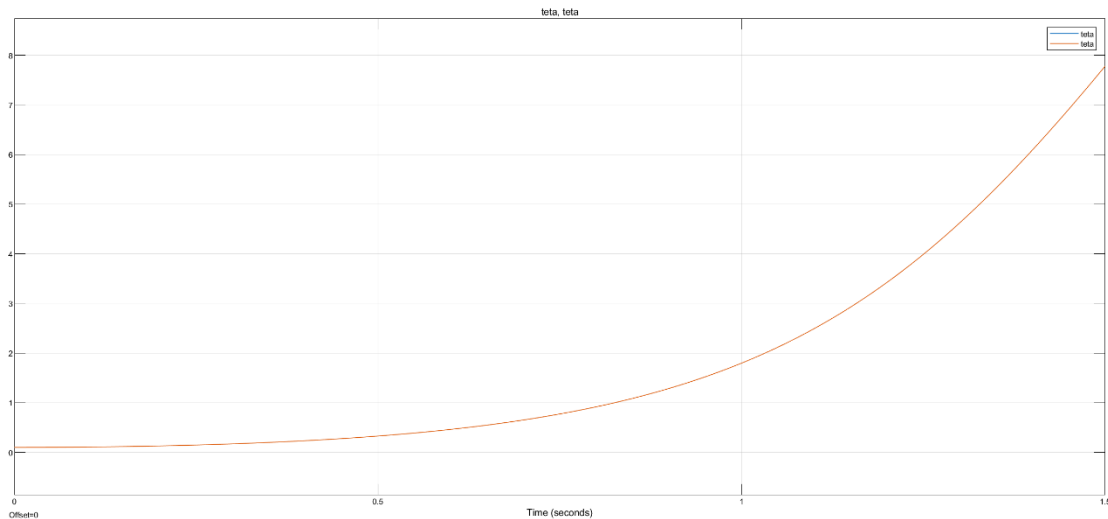
شکل ۲۷-۱ (رسم مدل اصلی و مدل تخمین (چهار جزیی))



شکل ۲۸-۱ (رسم مدل اصلی و ۳ جزیی و ۴ جزیی)

همانطور که معلوم است، مدل ۴ جزیی نزدیک تر است به مدل اصلی سیستم.

حال خطی:



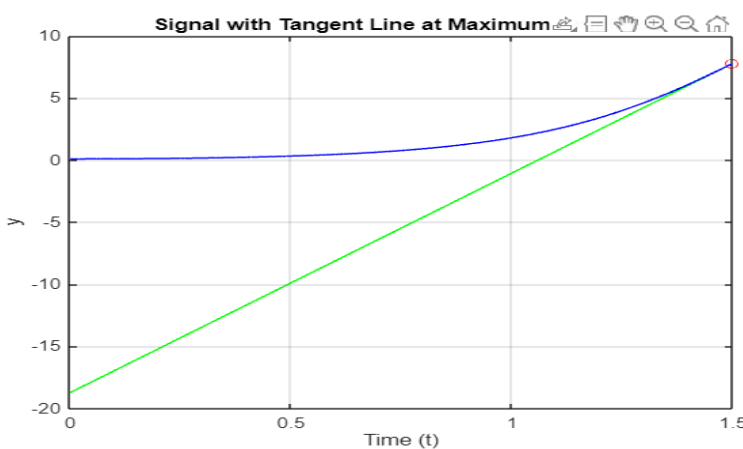
شکل ۲۹-۱ (نمودار مدل خطی تتا)

حال برای مدل ۳ جزیی انتگرال گیر را باید بدست اوریم:

$$G(S) = \frac{Ke^{-Ls}}{s(1+Ts)} \quad (49)$$

$$T = \frac{S(T+L)e}{K} \quad (50)$$

حال باید مقدار $L+T$ و K را از روی نمودار مشخص کنیم برای این کار باید خطی را در شیب ماکس رسم کنیم که در شکل زیر امده است.



شکل ۳۰-۱ (خط سبز، خطی که از عطف میگذرد و بیشترین شیب را دارد)

همانطور که در شکل مشخص است $L+T$ برابر است با 1.00596 و همچنین $(L+T)K$ برابر است با

. ۱۸.۷۲۶۹

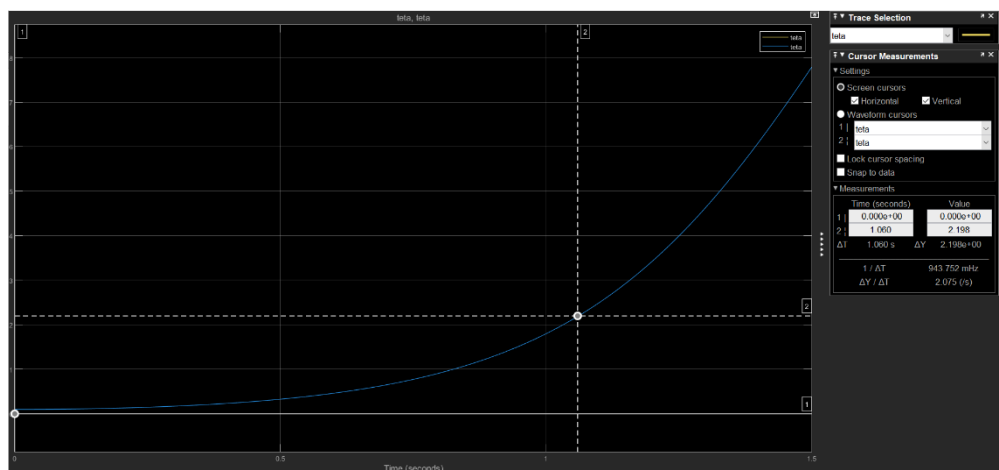
بنابراین:

$$L + T = 1.0596(51)$$

$$K(L + T) = 18.7269(52)$$

$$K = 17.6736(53)$$

همانطور که در شکل زیر مشخص است مقدار $S(L+T)$ برابر می شود با ۲۰.۱۹۸.



شکل ۳۱-۱ (اندازه گیری مقدار $(S(L+T))$

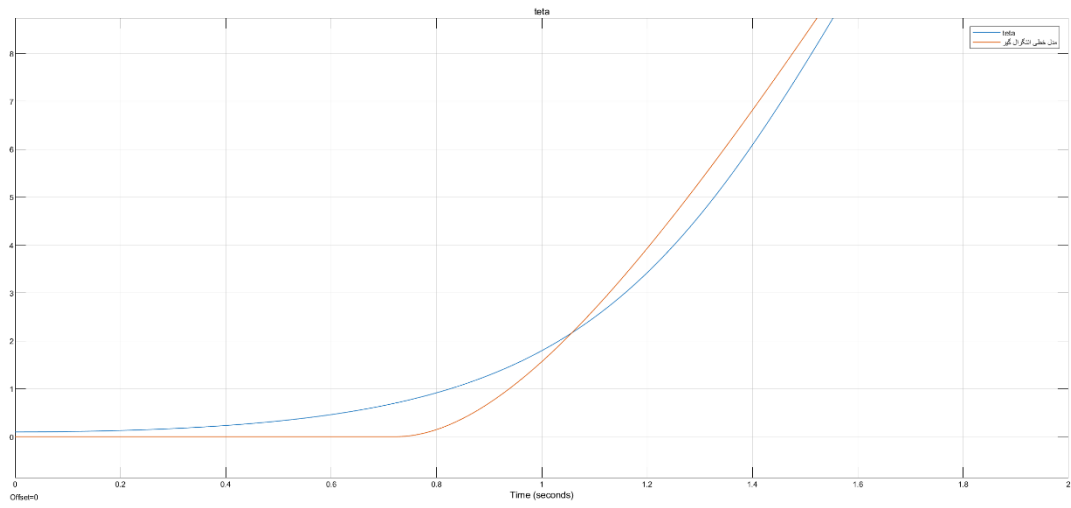
حال از رابطه (50) مقدار T را بدست می اوریم.

$$T = \frac{S(T + L)e}{K} = 0.3381 \quad (54)$$

$$L = 1.0596 - 0.3381 = 0.7215 \quad (55)$$

مدل ۳ جزیی انتگرال گیر به شکل زیر در می اید:

$$G(s) = \frac{17.6736e^{-0.7215s}}{s(1 + 0.3381s)} \quad (56)$$



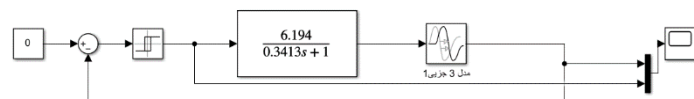
شکل ۱ ۳۲-۱ (مدل انتگرال گیر ۳ جزیی طراحی شده و مدل اصلی)

چون در حالت خطی قرار دارد و شکل نمودار سیستم انتگرال گیر می باشد بنابراین برای این سیستم با اموخته های مانمی شود مدل ۴ جزیی شناسایی نمود.

۱-۵. بدست اوردن اطلاعات نقطه نهایی سیستم با روش فیدبک رله

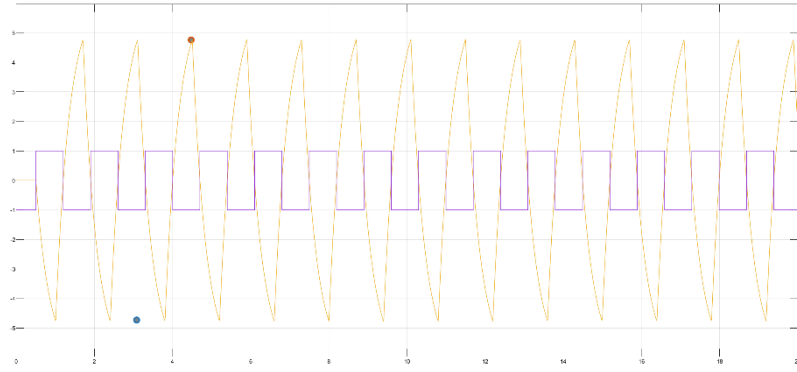
مدل سه جزیی:

ابتدا باید بلوک های زیر را در سیمولینک ایجاد کنیم



شکل ۱ ۳۳-۱ (شکل بلوک دیاگرام در سیمولینک)

خروجی سیستم به شکل زیر در می آید:

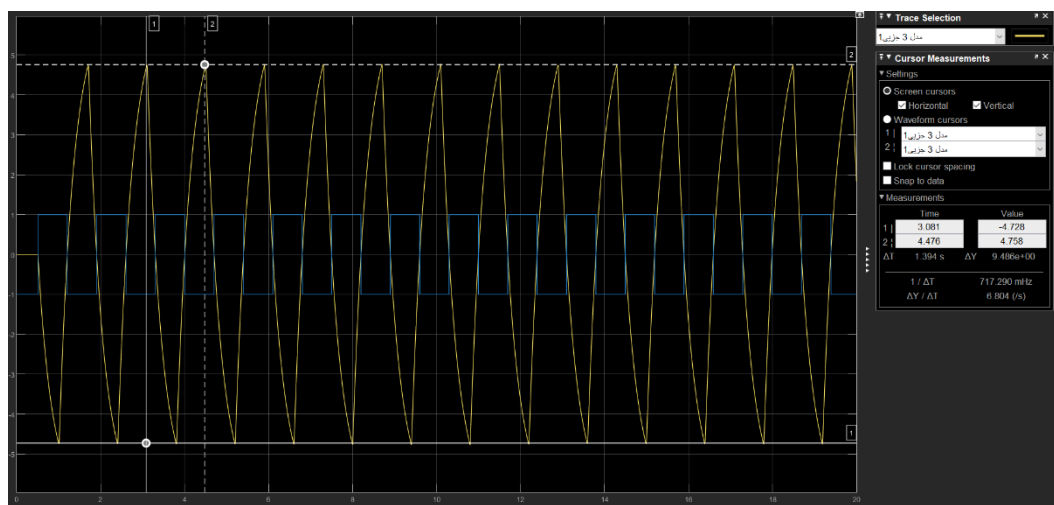


شکل ۱ ۳۴-۱ (خروجی سیستم با فیدبک رله)

همانطور که در شکل بالا مشخص است، ورودی و خروجی دارای اختلاف فاز 180° درجه می باشند و همچنین دامنه نوسانات برابر می شود بنابراین اطلاعات نقطه نهایی را بدست می دهد.

$$G(iw_u) = -\frac{\pi a}{4d} \quad (57)$$

از رابطه (۵۷) استفاده می کنیم تا نقطه نهایی برآبدست اوریم.



شکل ۱ ۳۵-۱ (نمودار فیدبک رله)

باید مقادیر دامنه ثابت نوسانات در خروجی (a) و دامنه تغییرات رله (d) را اندازه بگیریم و بعد از رابطه (۵۷) استفاده کنیم تا مقادیر لازم را بدست اوریم.

$$d = 2(58)$$

$$a = 9.486(59)$$

$$Tu = 1.394(60)$$

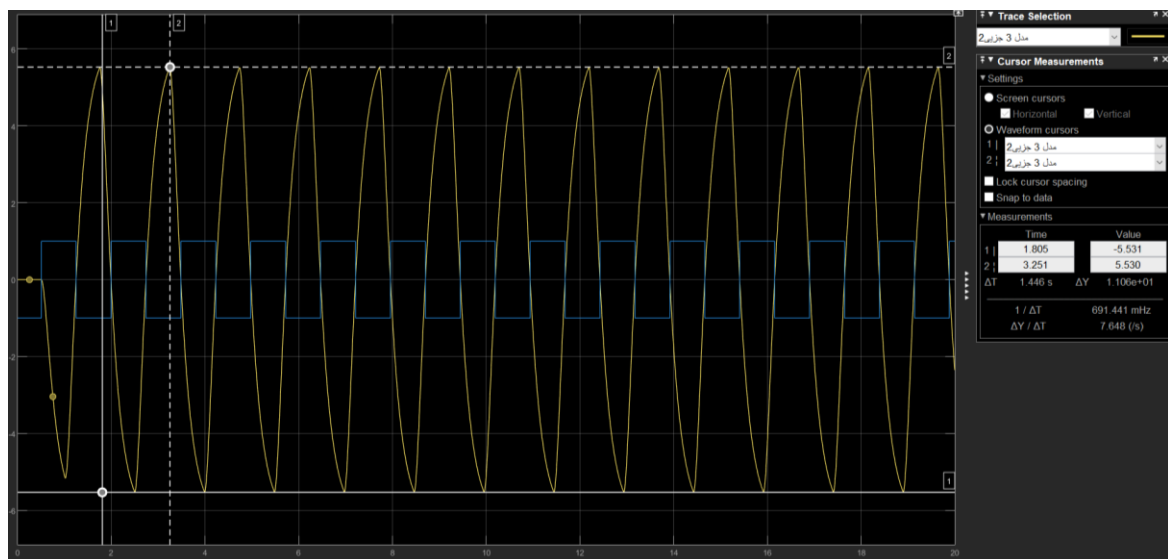
$$w_u = \frac{2\pi}{T_u} = 4.5073 \quad (61)$$

$$G(iw_u) = -\frac{\pi a}{4d} = -3.7251 \quad (62)$$

$$K = \frac{1}{|G(iw_u)|} = 0.2684 \quad (63)$$

مدل ۴ جزیی:

برای مدل ۴ جزیی نیز همانند مدل ۳ جزیی همان مراحل را تکرار کرده و مقادیر خواسته شده را بدست می اوریم.



شکل ۱۳۶-۱ (نمودار فیدبک رله)

$$a = 11.06(64)$$

$$d = 2(65)$$

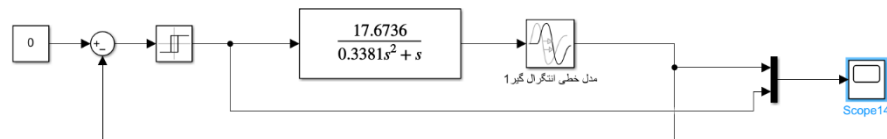
$$Tu = 1.446 \quad (66)$$

$$w_u = \frac{2\pi}{T_u} = 4.3452 \quad (67)$$

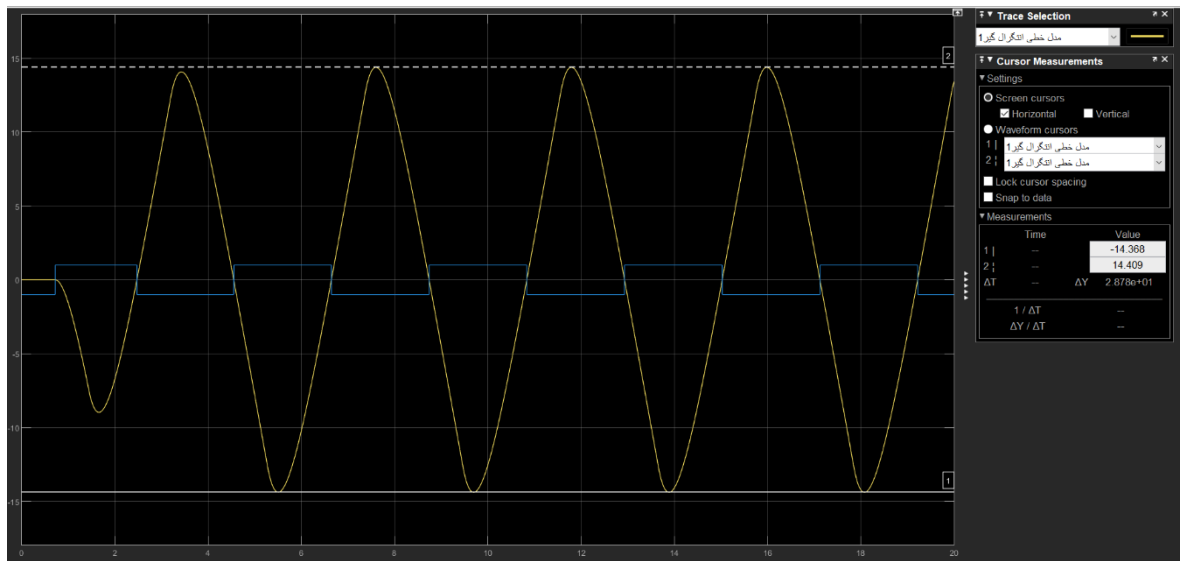
$$G(iw_u) = -\frac{\pi a}{4d} = -4.3432 \quad (68)$$

$$K = \frac{1}{|G(iw_u)|} = 0.2302 \quad (69)$$

حالت خطی:



شکل ۱-۳۷ (بلوک دیاگرام در سیمولینک)



شکل ۱-۳۸ (نمودار خروجی همراه با فیدبک رله)

باید مقادیر دامنه ثابت نوسانات در خروجی (a) و دامنه تغییرات رله (d) را اندازه بگیریم و بعد از رابطه (۵۷) استفاده کنیم تا مقادیر لازم را بدست اوریم.

$$a = 28.78(70)$$

$$d = 2(71)$$

$$T_u = 4.257 \quad (72)$$

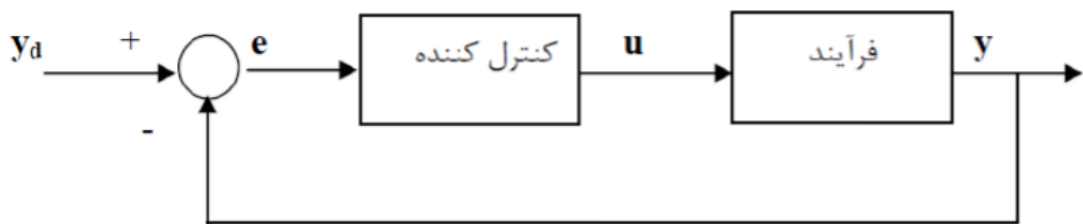
$$w_u = \frac{2\pi}{T_u} = 1.4759(73)$$

$$G(iw_u) = -\frac{\pi a}{4d} = -11.3018 \quad (74)$$

$$K = \frac{1}{|G(iw_u)|} = 0.0884(75)$$

۱-۶. طراحی PID به روش زیگلر-نیکولز

۱-۶-۱. در حوزه فرکانس



شکل ۱-۳۹ (بلوک دیاگرام PID)

باید با استفاده از T_u و K با استفاده از جدول مربوط به زیگلر نیکولز در حوزه فرکانس ضرایب را بدست بیاوریم.

T_p	T_d	T_i	K	کنترل کننده
T_u			$0.5K_u$	P
$1.4T_u$		$0.8T_u$	$0.4K_u$	PI
$0.85T_u$	$0.125T_u$	$0.5T_u$	$0.6K_u$	PID

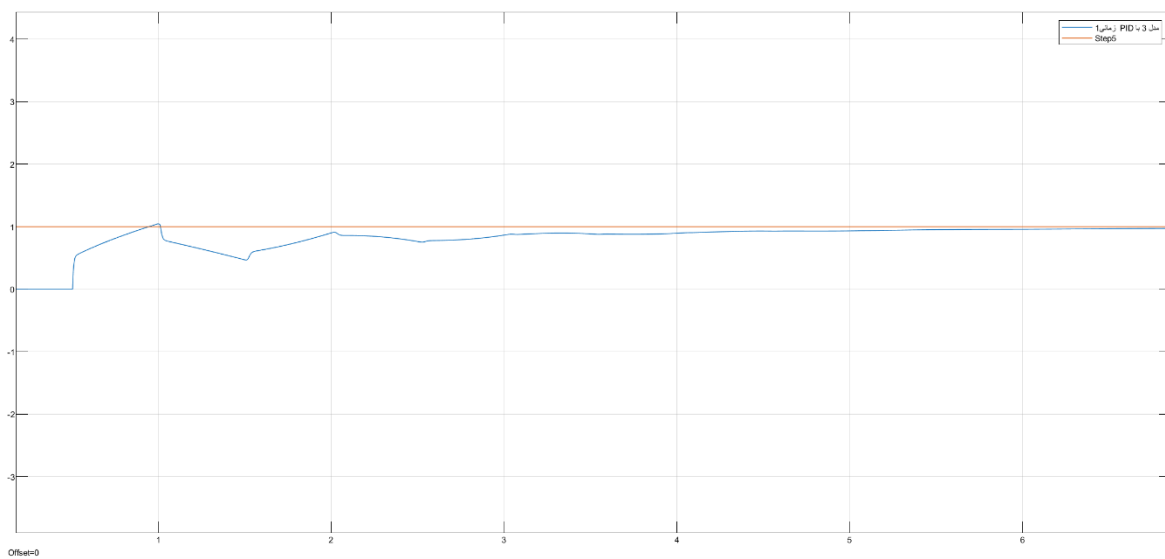
شکل ۱-۴۰ (جدول ضرایب PID فرکانسی به روش زیگلر-نیکلز)

برای مدل ۳ جزیی غیر خطی شناسایی شده برابر است با:

$$K = 0.16104 \quad (76)$$

$$T_i = 0.697 \quad (77)$$

$$T_d = 0.17425 \quad (78)$$



شکل ۴-۱ (نمودار تابع همراه PID حوزه فرکانس)

همانطور که در شکل پیداست کنترل کننده باعث افزایش سرعت پاسخ و کاهش اورشوت شده است.

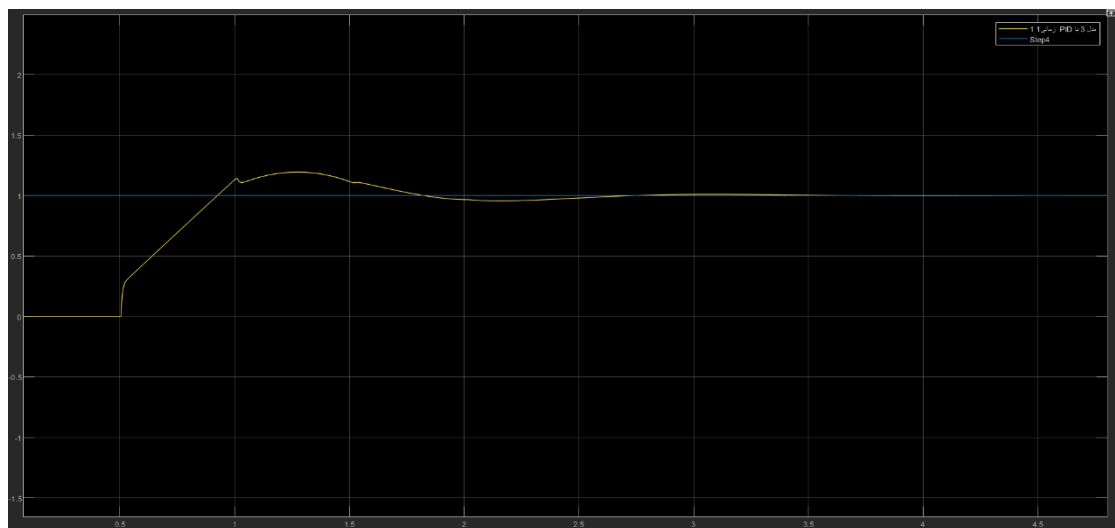
برای تنظیم و کمتر کردن دامنه نوسانات ضرایب PID را در باید تنظیم کنیم:

۲-۶-۱. بار اول:

$$K = 0.14(79)$$

$$T_i = 0.5(80)$$

$$T_d = 0.1(81)$$



شکل ۴۲-۱ (PID با ضرایب جدید)

همانطور که در شکل پیداست؛ زمانی که کنترل کننده را با ضرایب جدید به سیستم اعمال می کنیم دامنه نوسانات کاهش می باید و 1.2 به حدود می رسد با انحراف اولیه $0.1 = \theta$ که پاسخ مطلوب تری می باشد.

چهار جزیی :

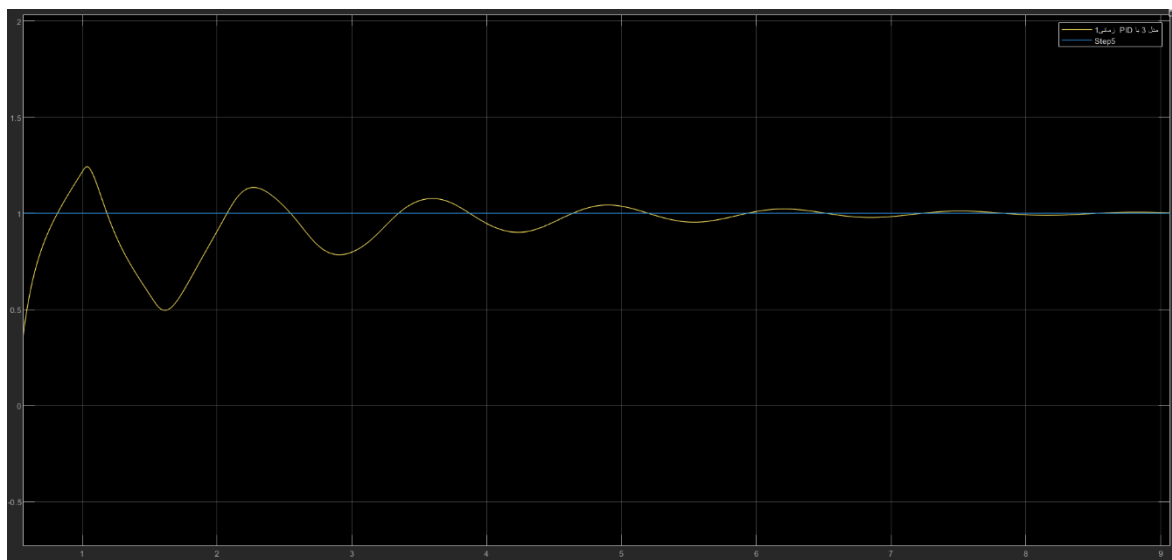


شکل ۴۳-۱ (بلوک دیاگرام سیمولینک)

$$K = 2.5542(92)$$

$$T_i = 0.044(93)$$

$$T_d = 0.53321(94)$$

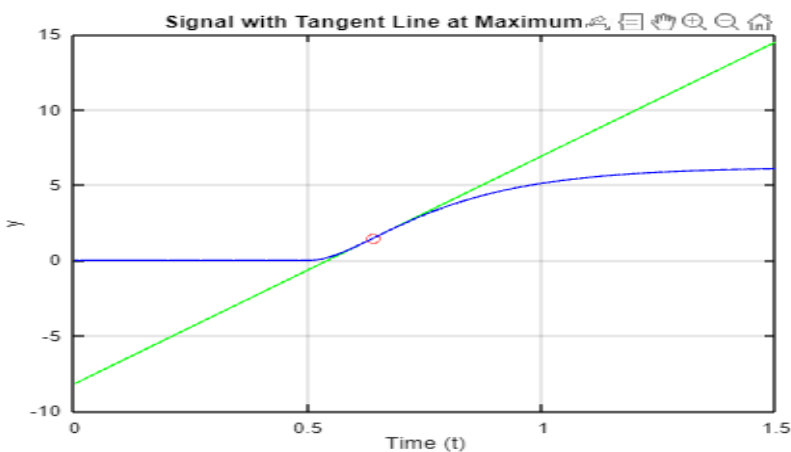


شکل ۴۴-۱ (با PID در حوزه فرکانس)

۳-۶-۱. در حوزه زمان

۱-۳-۶-۱. مدل ۴ جزیی

ابتدامی باید دوباره خطی رسم کنیم که از نقطه عطف گذشته و بیشترین شیب را دارد و از این حالت مقدار a و L را بدست اوریم.



شکل ۴۵-۱ (خط رسم شده برای این شیب ماکس)

همانطور که مشخص است مقدار a و L بصورت زیر می باشد:

$$L = 0.5420(82)$$

$$a = 8.1993(83)$$

برای طراحی PID در حوزه زمان می باید از جدول زیر ضرایب را بدست اورد.

T _p	T _d	T _i	K	کنترل کننده
4L	0	0	1/a	P
5.7L	0	3L	0.9/a	PI
3.4L	L/2	2L	1.2/a	PID

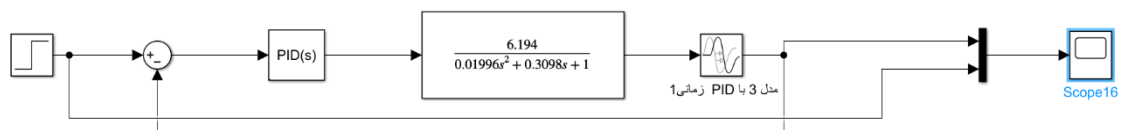
شکل ۱ ۴۶ (جدول ضرایب در حوزه زمان)

ضرایب از جدول بالا بصورت زیر بدست می ایند:

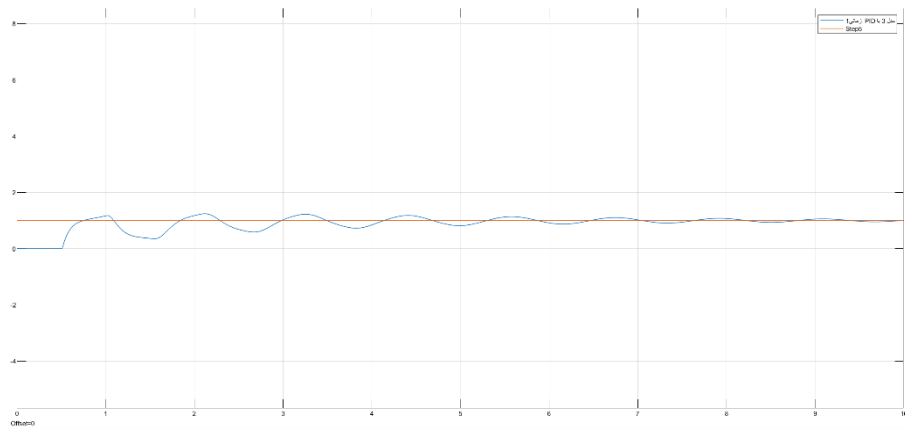
$$k = \frac{1.2}{a} = 0.1463 \quad (84)$$

$$T_i = 2l = 0.9225 \quad (85)$$

$$T_d = 0.271 \quad (86)$$



شکل ۱ ۴۷-۱ (بلوک های سیمولینک)

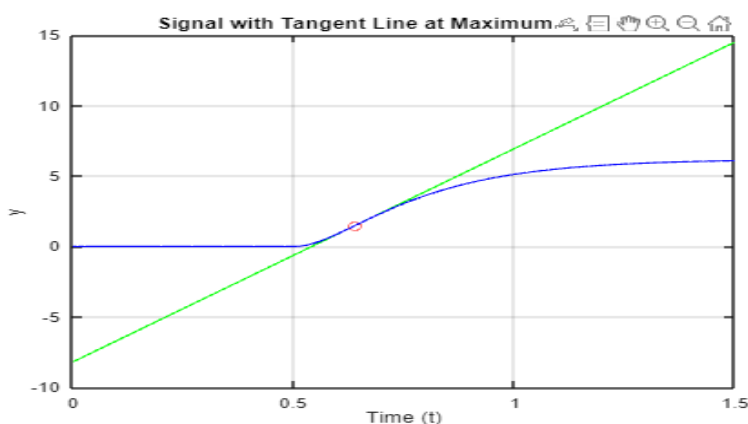


شکل ۴۸-۱ (نمودار تتابه همراه PID حوزه زمان)

پاسخ سیستم با وجود پی ای دی بصورت بالا در می اید که تا ۰.۱ ثانیه به مقدار پایدار خود می رسد و خواسته مطلوب ما را براورده می کند.

۱-۶-۳-۲. مدل ۳ جزیی

مانند حالت قبل از رسم خط a و L را بدست می اوریم.



شکل ۴۹-۱ (خط رسم شده برای این شیب ماکس)

مقادیر a و L بصورت زیر بدست می اید:

$$L = 0.5420(87)$$

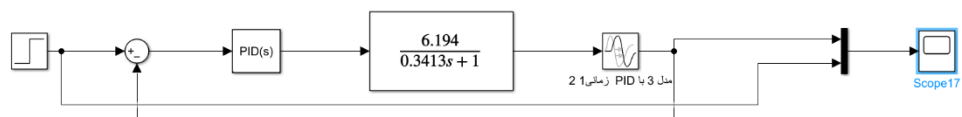
$$a = 8.1993(88)$$

حال با استفاده از جدول مقادیر ضرایب PID را بدست می اوریم.

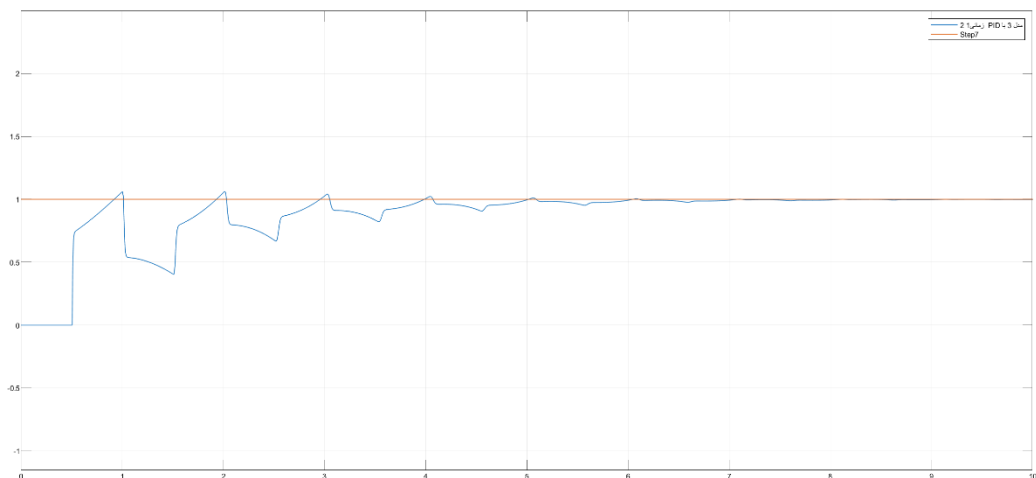
$$k = \frac{1.2}{a} = 0.1463 \quad (89)$$

$$T_i = 2l = 0.9225 \quad (90)$$

$$T_d = \frac{l}{2} = 0.271 \quad (91)$$



شکل ۵۰-۱ (بلوک های سیمولینک)



شکل ۵۱-۱ (نمودار تابع همراه PID حوزه زمان)

همانطوری که در پاسخ‌ها مشخص است تمام PID‌هایی که طراحی شده است در حوضه فرکانس بهتر عمل می‌کنند و بنابر این طراحی PID در حوضه فرکانس مطلوب تر می‌باشد. برای مدل خطی نمی‌توانیم کنترل کننده مناسب طراحی کنیم به بی‌نهایت میل می‌کند.

۷-۱. زیگلر-نیکلز تعمیم یافته

برای بدست اوردن ضرایب PID از روش زیگلر-نیکلز تعمیم یافته می‌تواند برای نقطه دلخواه B ضرایب زیر را محاسبه نمود:

$$K_p = Ku \cdot r_b \cdot \cos\phi_b \quad (92)$$

$$Ti = Tu / \pi \left((1 + (\sin\phi_b)) / (\cos\phi_b) \right) \quad (93)$$

$$Td = \alpha Tu / \pi \left((1 + (\sin\phi_b)) / (\cos\phi_b) \right) \quad (94)$$

حال باید برای یک نقطه مناسب برای این سیستم ضرایب را بدست بیاوریم، اگر فرض کنیم نقطه $r_b = 0.29$, $\varphi_b = 37^\circ$ را انتخاب می‌کنیم.

$$K_p = Ku \cdot r_b \cdot \cos\phi_b = 0.2316 Ku \quad (95)$$

$$Ti = \frac{T_u}{\pi} \left(\frac{1 + \sin\varphi_b}{\cos\varphi_b} \right) = 0.5581 Tu \quad (96)$$

$$Td = \alpha \frac{T_u}{\pi} \left(\frac{1 + \sin\varphi_b}{\cos\varphi_b} \right) = 0.1395 Tu \quad (97)$$

۱-۷-۱. PID برای مدل ۳ جزئی

مقادیر بدست امده از فیدبک رله

$$K_u = 0.2684(98)$$

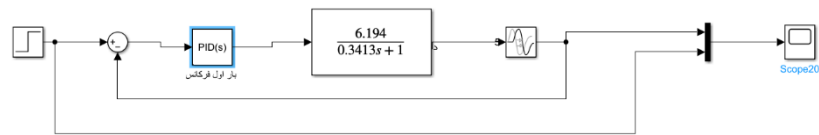
$$T_u = 1.394(99)$$

ضرایب بدست امده برای PID

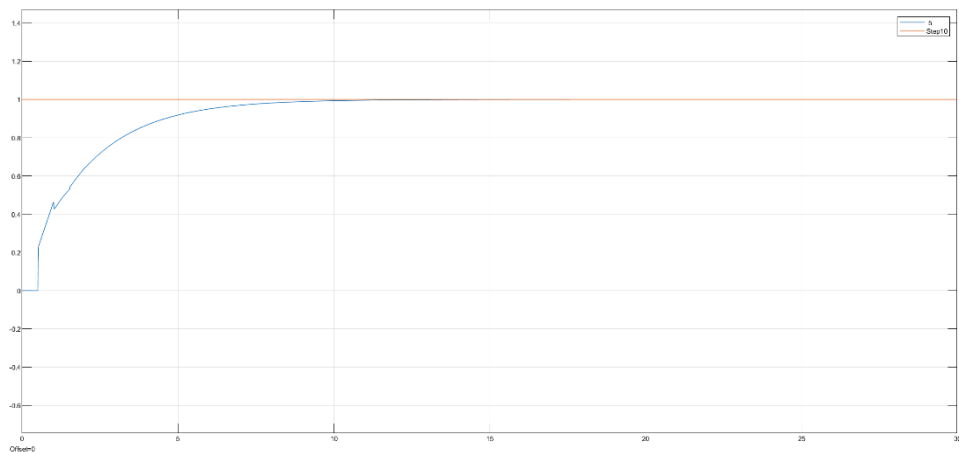
$$K_p = K_u \cdot r b \cdot \cos\phi_b = 0.2316 K_u = 0.062(100)$$

$$Ti = \frac{T_u}{\pi} \left(\frac{1 + \sin\phi_b}{\cos\phi_b} \right) = 0.5581 T_u = 0.77799(101)$$

$$Td = \alpha \frac{T_u}{\pi} \left(\frac{1 + \sin\phi_b}{\cos\phi_b} \right) = 0.1395 T_u = 0.1945(102)$$



شکل ۱-۵۲ (بلوک های سیمولینک)



شکل ۱-۵۳ (پاسخ سیستم با کنترل کننده زیگلر-نیکولز تعیین یافته)

همانطور که مشخص است در این حالت پاسخ سیستم سریع تر و با سرعت بیشتری به مقدار نهای میرسد.

2.7-1 برای مدل 4 جزئی PID.

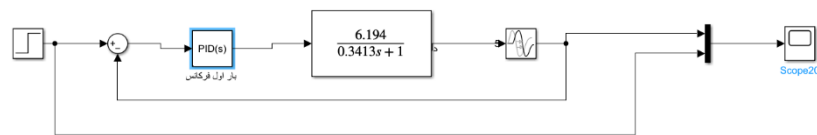
$$K_u = 0.2302(103)$$

$$T_u = 1.446(104)$$

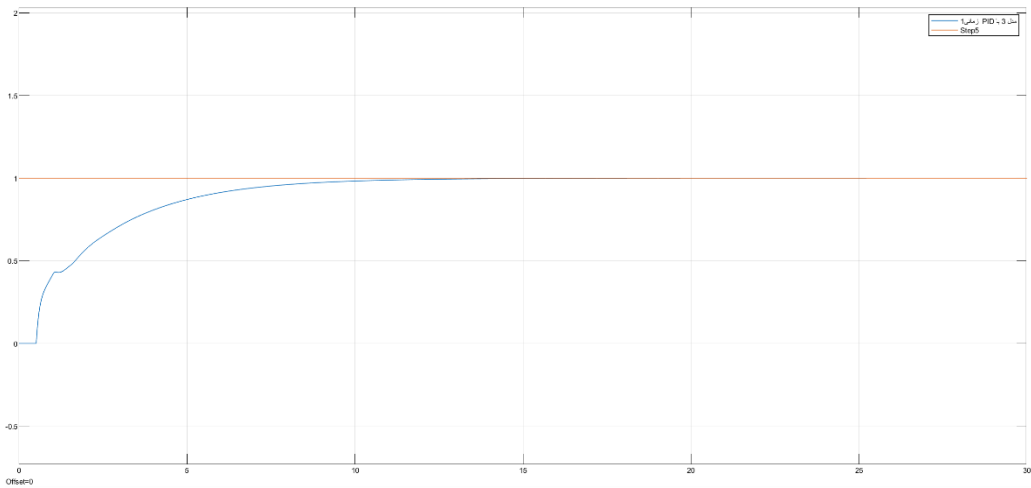
$$p = Ku \cdot rb \cdot \cos\phi_b = 0.2316Ku = 0.0532(105)$$

$$Ti = \frac{T_u}{\pi} \left(\frac{1 + \sin\varphi_b}{\cos\varphi_b} \right) = 0.5581Tu = 0.807(106)$$

$$Td = \alpha \frac{T_u}{\pi} \left(\frac{1 + \sin\varphi_b}{\cos\varphi_b} \right) = 0.1395Tu = 0.2017(107)$$



شکل 1-54 (پلاک دیاگرام سیمولینک)



شکل ۱-۵۵ (خروجی مدل ۴ جزیی)

همانطور که انتظار داشتیم برای مدل چهار جزیی گنترل کننده بهتر عمل می کند.

۱-۸. روش لامبدا

ابتدا برای PID سعی می کنیم روابط را بدست بیاوریم:

$$C(s) = K \left(1 + \frac{1}{T_i s} + T_d s \right) = K \frac{1 + T_i s + T_i T_d s^2}{T_i s} \quad (108)$$

$$C'(s) = K' \frac{(1 + T'_i s)(1 + T'_d s)}{T'_i s} \quad (109)$$

$$K = K' \frac{T'_i T'_d}{T'_i} \quad (110) \quad , T_i = T'_i + T'_d \quad (111) \quad , T_d = \frac{T'_i T'_d}{T'_i + T'_d} \quad (112)$$

$$L(S) = \frac{K_p \left(1 - \frac{LS}{2} \right) K' (1 + TS) \left(1 + \frac{LS}{2} \right)}{1 + TS \left(1 + \frac{LS}{2} \right)} \frac{1}{TS} \quad (113)$$

$$L(S) = P(S) C'(S) = \frac{K' K_p \left(1 - \frac{LS}{2} \right)}{TS} \quad (114)$$

$$s(T - K_p KL/2) + K_p K' = 0 \quad (115)$$

$$-\frac{K_p K'}{T - K_p KL/2} = -\frac{1}{\lambda} \quad (116)$$

$$K' = \frac{1}{K_p L/2 + \lambda} \quad (117), \quad T_i = T \quad (118), \quad T_d = \frac{L}{2} \quad (119)$$

ضرایب بدست امده برای PID از روش لامدا

$$K = \frac{1}{K_p} \frac{L/2 + T}{L/2 + \lambda} \quad (120), \quad T_i = T + \frac{L}{2} \quad (121), \quad T_d = \frac{TL}{L + 2T} \quad (122)$$

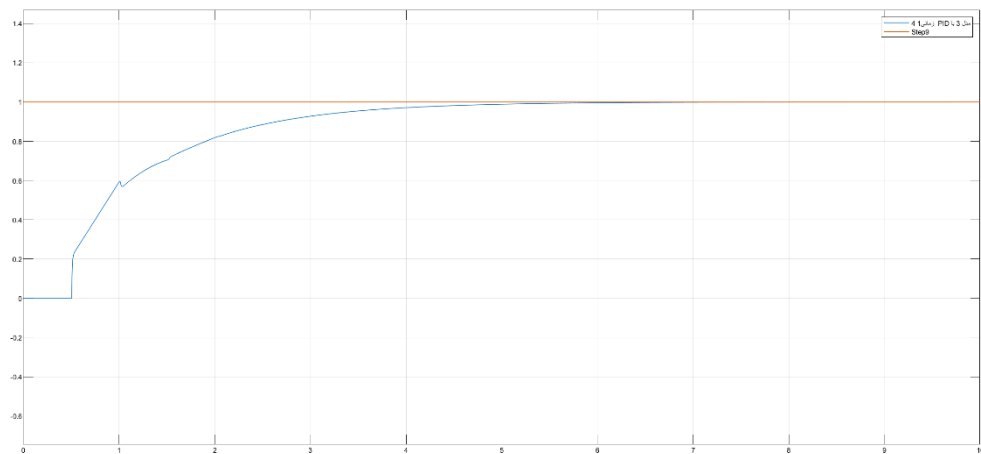
برای داشتن کنترل کننده مناسب باید $\lambda = 3T$ در نظر گرفت.

با جایگذاری مقادیر بدست امده برای مدل ۳ جزیی، ضرایب PID را بصورت زیر خواهیم داشم:

$$k = 0.07634 \quad (123)$$

$$Ti = 0.6123 \quad (124)$$

$$Td = 0.1510 \quad (125)$$



شکل 1-56 (باسخ سیستم بدست امده از کنترل کننده PID طراحی شده با لاندا)

همانطور که مشاهده می کنید کنترل کننده بدست امده کنترل کننده مناسبی است زیرا سیستم را در این در زمان سریعی به مقدار نهایی خود می رساند.
در این روش نیز نمی توانیم مقادیر لازم برای مدل ۴ جزیی را بدست اوریم.

9-1. طراحی PID به روش ISE

در این روش طراحی با استفاده از روابط زیر ضرایب PID را بدست می اوریم:

$$K(s) = k \left(1 + \frac{1}{T_i s} + T_D s \right) \quad (108)$$

$$k = \frac{1}{K} a(\theta)^{-b} \quad (126)$$

$$T_i = T.c.(\theta)^d \quad (127)$$

$$T_D = T.e.(\theta)^f \quad (128)$$

- کنترل کننده PID -

f	e	d	c	b	a	روش
1	0.5	1	2	1	1.2	Z.N.
1.14	0.48	0.75	1.14	0.92	1.4	IAE
1	0.56	0.77	0.92	0.95	1.5	ISE
1	0.38	0.74	1.18	0.95	1.36	ITAE

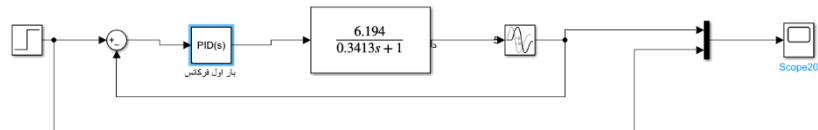
شکل ۱-۵۷ (جدول مربوط به ثوابت ISE)

ضرایب بدست امده از این روش برابر است با:

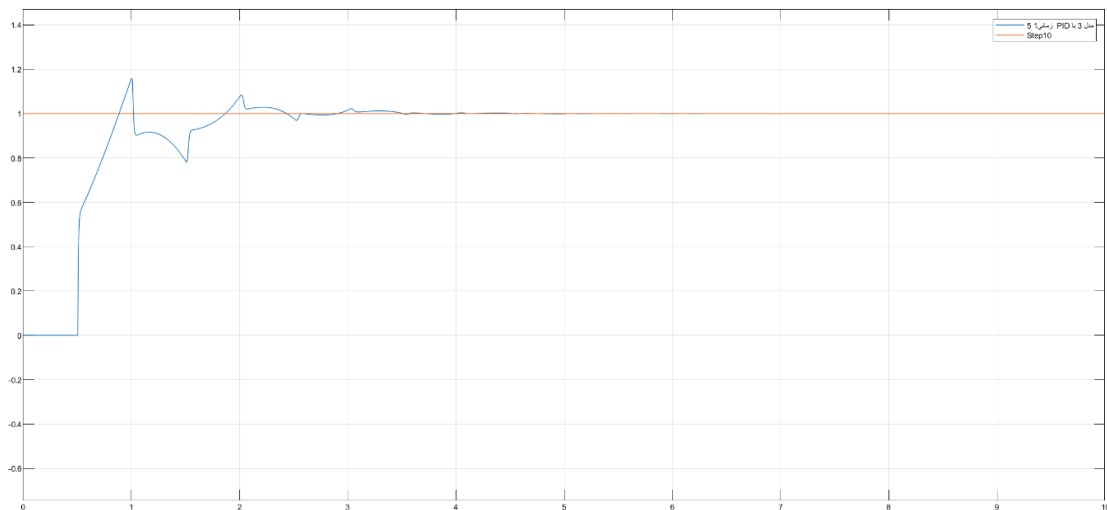
$$k = 0.1415 \quad (129)$$

$$T_i = 0.5670 \quad (130)$$

$$Td = 0.2059(131)$$



شکل ۱-۵۸ (блک دیاگرام سیمولینک)



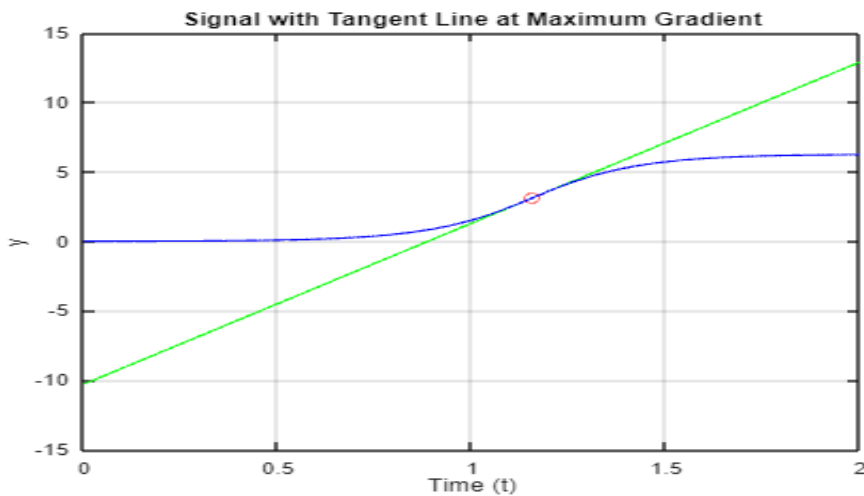
شکل ۱-۵۹ (پاسخ سیستم با PID طراحی شده با روش ISE)

پاسخ بدست امده مطلوب می باشد زیرا در این حالت با اینکه مقدار کمی اورشوت دارد و هم چنان به سرعت به مقدار نهایی خود خواهد رسید.
برای مدل ۴ جزیی نیز نمی توانیم با این روش ضرایب را بدست اوریم زیرا تنها معادلات مربوط به ۳ جزیی را در اختیار داریم.

10-1. کنترل کننده های مختلف به انحراف های مختلف

1-10-1. برای انحراف ۱

باید ابتدا مقادیر برای شناسایی سیستم برآ بدست بیاوریم.



شکل ۱-۶۰ (رسم خط که از عطف گزد)

مقادیر بدست امده از شکل برابر است با:

$$L = 0.1716 \quad (132)$$

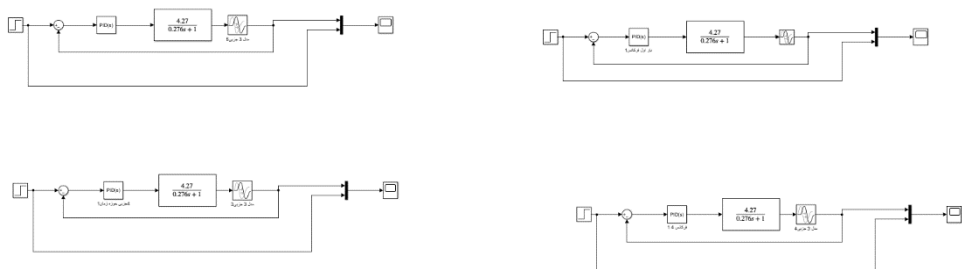
$$a = -10.7437 \quad (133)$$

$$k = 4.27 \quad (134)$$

$$T = 0.276 \quad (135)$$

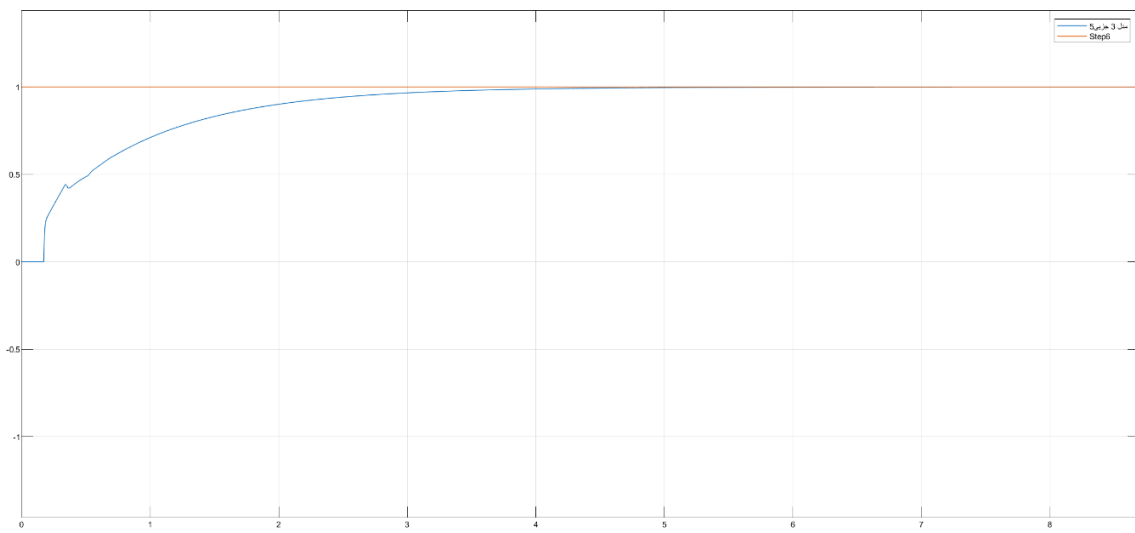
تابع تبدیل سیستم برابر است با:

$$G(s) = \frac{(4.27e^{(-0.1716s)})}{(1 + 0.276s)} \quad (136)$$

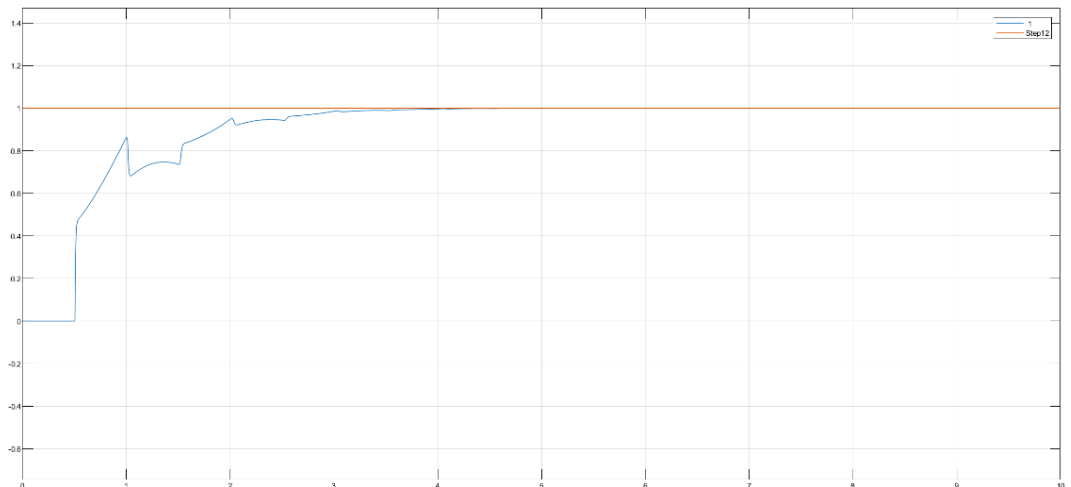


شکل ۱-۶۱ (بلوک دیاگرام سیمولینک)

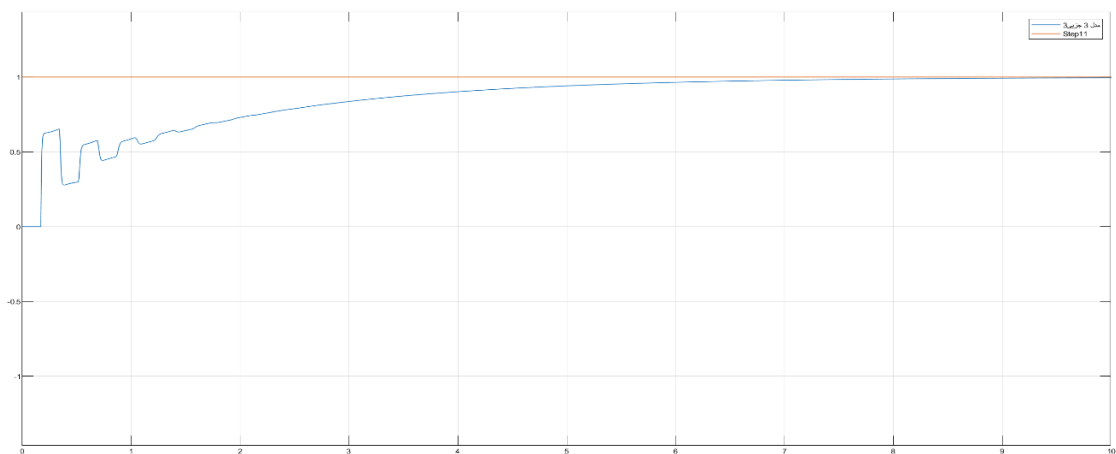
پاسخ این سیستم به PID های طراحی شده در مراحل قبل:



شکل 62-1



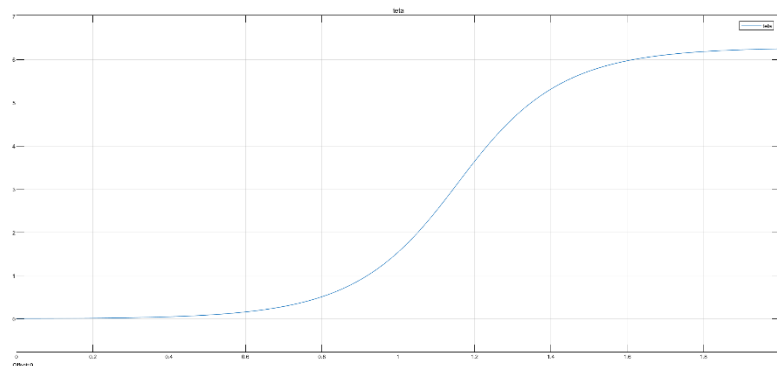
شکل 63-1



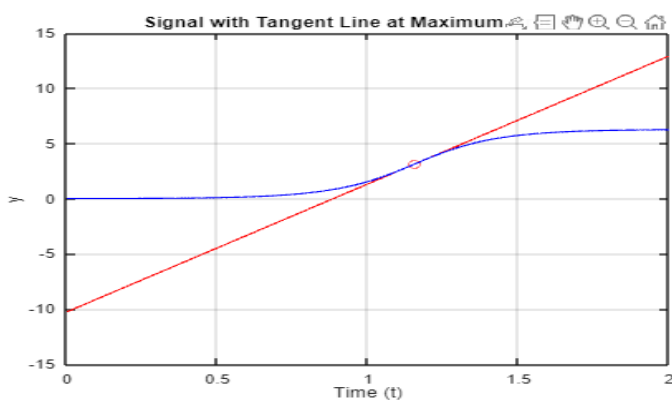
شکل 1-64

همانطور که مشاهده می کنید پاسخ های کندتری را تارسیدن به مقدار نهایی مشاهده می کنیم و هچنین در بعضی حالات دارای نوسانات بیشتر نیز می شود.

0.01-2-10-1 انحراف



شکل 1-65 (مدل S-shape سیستم)



شکل 1-2 (رسم خط که از عطف گزد)

مقادیر بدست امده از شکل برابر است با:

$$L = 0.8851 \quad (132)$$

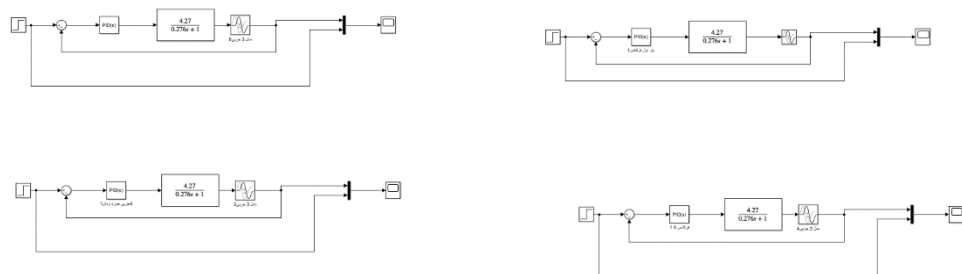
$$a = 10.2584 \quad (133)$$

$$k = 6.24 \quad (134)$$

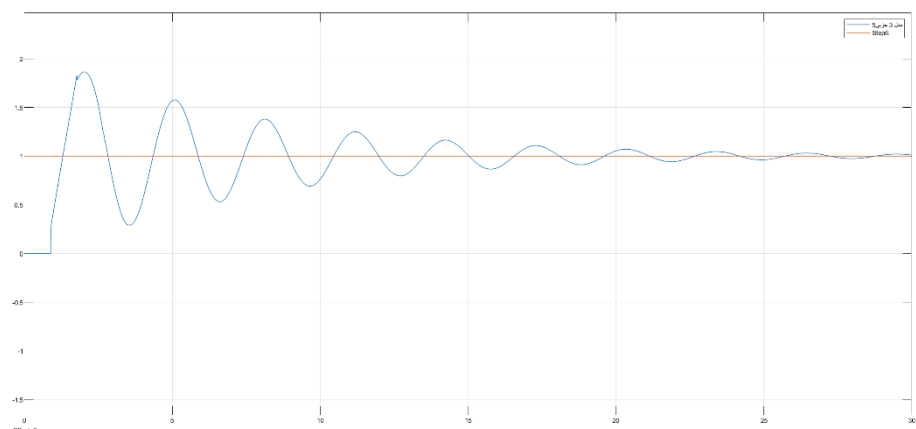
$$T = 0.338 \quad (135)$$

تابع تبدیل سیستم برابر است با:

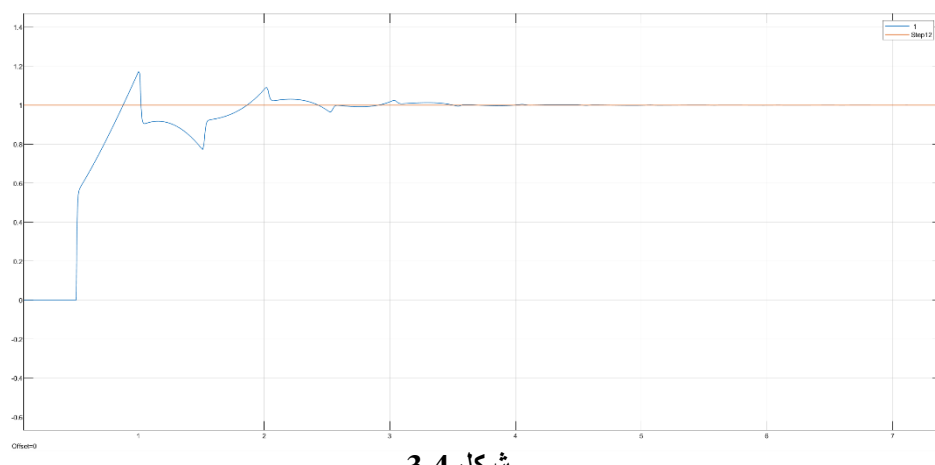
$$G(s) = \frac{(6.24e^{(-0.8851s)})}{(1 + 0.338s)} \quad (136)$$



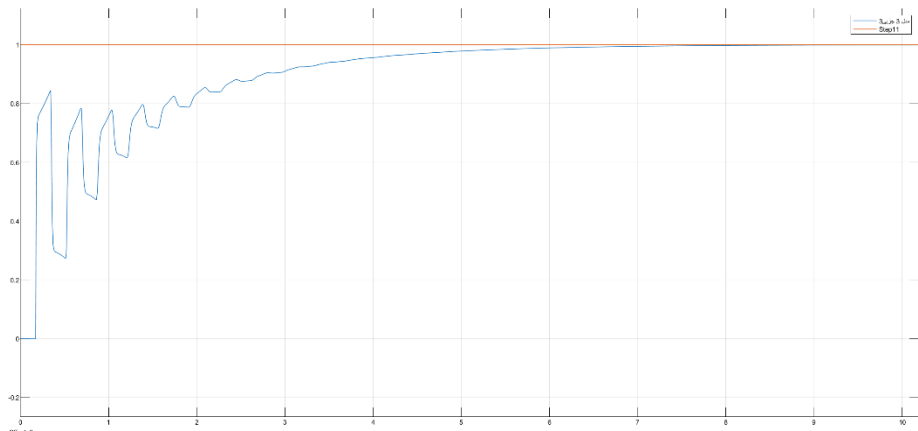
شکل ۱-۴ (بلوک دیاگرام سیمولینک)



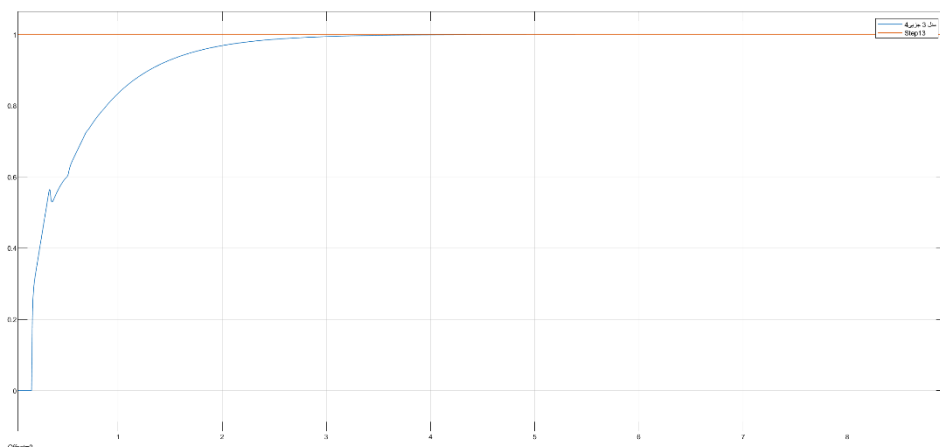
شکل ۲-۴



شکل ۳-۴



شکل 4-4



شکل 5-4

برای مقایسه کنترل کننده ها، در کل کنترل کننده های ۳ جزیی در حوزه فرکانس کنترل کننده های بهتری هستند و بعد کنترل کننده های چهار جزیی در روش زیگلر نیکلز تعیین یافته نیز کنترل کننده مناسبی است زیرا بیشتر نوسانات را گرفته است ولی سرعت سیستم کاهش یافته است اما کنترل کننده به روش لاندراهم اکثر نوسانات گرفته شده است و همچنین سرعت سیستم بیشتر میباشد. در روش ISE نیز نوسانات کاهش نیافته ولی سرعت سیستم خوب است.

با محاسبه مقدار تاو برای مدل های شناسایی شده متوجه می شویم که مقدار ان برای همه آن ها بزرگتر از $4 \cdot 10^{-4}$ می باشد بنابراین کنترل انها بسیار دشوار بوده و نمی تواند انها را بخوبی کنترل کرد و بنابراین مقدار ماکسیمم برای این سیستم نمی توانیم تعیین کنیم که قابل کنترل است و تنها تلاشی کردیم تا مقدار مشخصی این سیستم ها را بصورت پایدار کنترل کنیم.